

Přírodovědecká fakulta Univerzity Karlovy

Katedra biochemie

Vliv kademnatých iontů na fotosyntetický aparát sinice

Synechococcus elongatus

Lucia Sviteková

Školitel: RNDr. Tomáš Kučera, PhD.

Diplomová práce

Praha, 2006

Prohlašuji, že jsem na své diplomové práci pracovala samostatně pod vedením svého školitele RNDr. Tomáše Kučery, PhD. a všechny použité prameny jsem řádně citovala.

V Praze 30.8.2006

Lucia Sviteková

Děkuji svému školitelovi RNDr. Tomáši Kučerovi, PhD za odborné vedení a pozornost, kterou mi věnoval při vypracování mé diplomové práce.

Také bych chtěla poděkovat Prof. RNDr. Danuši Sofrové, CSc. za cenné rady a Mikrobiologickému ústavu AV ČR v Třeboni za kultivaci sinic.

Děkuji všem ostatním, kteří mi jakoukoliv mírou pomohli k dokončení mé diplomové práce.

Obsah

Obsah	4
Seznam zkratek.....	6
1 Teoretický úvod.....	9
1.1 Obecná charakteristika fotosyntézy	9
1.1.1 Lokalizace fotosyntézy	11
1.1.2 Fotosyntetické pigmenty	12
1.2 Fotosyntetický aparát.....	16
1.2.1 Světlosběrný systém fotosystému II	17
1.2.2 Fotosystém II.....	17
1.2.3 OEC-komplex vyvíjející kyslík	18
1.2.4 Komplex cyt b ₆ /f	19
1.2.5 Fotosystém I a světlosběrný systém.....	20
1.2.6 ATP-synthasa	21
1.3 Sinice.....	21
1.3.1 Klasifikace sinic.....	22
1.3.2 Fotosyntéza u sinic.....	23
1.3.3 Rozdíly ve fotosyntéze sinic a vyšších rostlin	24
1.4 Vliv kademnatých iontů na fotosyntézu rostlin	25
1.4.1 Ionty kadmia a jeho toxické vlastnosti	25
1.4.2 Bioremediace toxických kovů kontaminujících vody a půdy	27
1.5 Cíl práce	29
2 Materiál a metody.....	30
2.1 Biologický materiál.....	30
2.2 Seznam chemikálií	31
2.3 Izolace thylakoidních membrán sinic	33
2.4 Centrifugace v sacharosovém hustotním gradientu /36/.....	34
2.4.1 Princip metody /37/.....	34
2.4.2 Příprava vzorků pro centrifugaci v sacharosovém hustotním gradientu	34
2.4.3 Dělení pigmentoproteinových komplexů centrifugací v sacharosovém hustotním gradientu	35
2.5 Elektroforetické metody	36
2.5.1 „Červená“ nativní elektroforéza v polyakrylamidovém gelu....	36
2.5.2 Detekce bílkovin, barvení a sušení gelů	40
2.5.3 Stanovení relativní molekulové hmotnosti proteinů.....	41
2.6 Spektroskopické metody	42
2.6.1 Stanovení koncentrace chlorofylu a.....	42
2.7 Příprava tenzidového extraktu	43
2.8 Měření fotochemických aktivit.....	43
2.8.1 Měření fotochemických aktivit fotoredukcí DCPIP	43

2.8.2 Měření fotochemických aktivit fotoredukcí DCPIP za přítomnosti DPC	44
2.9 Inkubace thylakoidních membrán sinic s kademnatými ionty	45
3 Výsledky	48
3.1 Fotochemické aktivity	48
3.1.1 Fotochemické aktivity kontrolních vzorků thylakoidních membrán sinic bez inkubace s kademnatými ionty	48
3.1.2 Fotochemické aktivity vzorků dodecylmaltosidového extraktu bez inkubace s Cd ²⁺ ionty	50
3.1.3 Měření fotochemické aktivity thylakoidních membrán sinic po 30minutové inkubaci s Cd ²⁺ ionty	51
3.1.4 Časová závislost	57
3.1.5 Fotochemické aktivity vzorků thylakoidních membrán sinic po 30ti minutové inkubaci s iontama kadmia v koncentraci 0 až 200 mM	58
3.2 Elektroforetická analýza	62
3.2.1 „Červená“ nativní elektroforéza sedimentu thylakoidních membrán sinic v hustotním gradientu sacharózy	62
3.2.2 „Červená“ nativní elektroforéze thylakoidních membrán sinic a thylakoidních membrán špenátu	63
3.2.3 „Červená“ nativní elektroforéza thylakoidních membrán sinic v přítomnosti různé koncentrace chloridu kademnatého	65
4 Diskuse	68
5 Závěr	74
Seznam literatury	75

Seznam zkratek

A₀ – molekula chlorofylu a

A₁ – molekula fylochinonu

ADP – adenosindifosfát

APC – cylindrické jádro fykobilisomů

APS – persíran amonný

ATP – adenosintrifosfát

Bis – N,N'-methylen-bis-akrylamid

Bis-Tris – Bis (2-hydroxyethyl)amino tris (hydroxymethyl)methan

BSA – hovězí sérový albumin

CF₀, CF₁ – složky ATP-synthasy

CP 43, CP 47 – proteiny s molekulovou hmotností 43 a 47 kDa

D₁, D₂ – proteiny s molekulovou hmotností 32 a 34 kDa

DM – n-dodecyl-β-D-maltosid

DNA – deoxyribonukleová kyselina

DCPIP – 2,6-dichlorfenolindofenol

DPC – 1,5-difenylkarbazid

F_a, F_b – shluky [4Fe-4S], sekundární akceptory předávající elektrony na ferredoxin

Fer – ferritin

Fd – ferredoxin

Fx – shluk [4Fe-4S], akceptor elektronů

Gra-3-P – glyceraldehyd-3-fosfát

HEPES – N-(2-hydroxyethyl)piperazin-N'-(ethansulfonová kyselina)

LHC – svetlosběrný komplex

LHC I – svetlosběrný komplex fotosystému I

LHC II – svetlosběrný komplex fotosystému II

MES – 2-morfolinethansulfonová kyselina

NADPH – nikotinamidadenosindinukleotidfosfát

OEC – komplex vyvíjející kyslík

P33, P 23, P 27 – proteiny s molekulovou hmotností 33, 23, 27 kDa

P680 – pigment reakčního centra fotosystému II s udaným maximem absorpce

P700 – pigment reakčního centra fotosystému I s udaným maximem absorpce

PC (Pcy) – plastocyanin

PC – fykocyaniny

PE – fykoerythriny

PEC – fykoerythrocyaniny

PEPC – fosfoenolpyruvátkarboxylasa

Pheo – feofytinu

PMSF – fenylmethysulfonyl fluorid

PQ – plastochinon

PS I – fotosystém I

PS II – fotosystém II

PsaA, PsaB – podjednotky dimeru fotosystému I s molekulovou hmotností 83 a 82,4 kDa

PsaC, PsaD, PsaE, PsaF – vnější podjednotky fotosystému I

PsaI, PsaJ, PsaK, PsaL, PsaM, PsaN – malé podjednotky fotosystému I

PsaG, PsaH – polypeptidy vážoucí anténní komplexy LHC I

Q – chinon

Q_A,Q_B – molekuly plastochinonu

Rbu-5-P – ribulosa-5-fosfát

RC – reakční centrum

RNA – ribonukleová kyselina

RuBisCO – ribulosa-1,5-bis-fosfátkarboxylasa/oxygenasa

S₀-S₄ – redoxní stavy komplexu vyvíjející kyslík

Sd – sediment z thylakoidních membrán sinic po centrifugaci v hustotním gradientu sacharosy

TEMED – N, N, N', N'-tetramethylethylendiamid

TM – thylakoidní membrány

TM_s – thylakoidní membrány sinic

TM_š – thylakoidní membrány špenátu

Tricine – n-tris(hydroxymethyl)methylglycin (Tricine)

Tris – tris(hydroxymethyl)-aminomethan

X – molekula ferredoxinu

Y_Z – tyrosylový zbytek proteinu D₁ v pozici 161

1 Teoretický úvod

1.1 Obecná charakteristika fotosyntézy

Život na Zemi je závislý na Slunci. Rostliny, řasy a bakterie vážou světelnou energii a pomocí fotosyntézy ji přeměňují na energii chemickou. Využitím této energie poskytují fotosyntetizující organizmy nejen základní živiny, ale i molekuly kyslíku nutné pro existenci heterotrofních organizmů, které využívají tento produkt k dýchání.

Podstatou fotosyntézy je absorpcie zářivé energie pomocí molekul pigmentů a využití energie zachycených fotonů k syntéze sacharidů z oxidu uhličitého a sloučeniny schopné poskytnout vodík.

Obecnou rovnici fotosyntézy lze zapsat:



kde H_2D je donor vodíku (resp. protonů a elektronů); D je jeho oxidovaná forma; CH_2O je vzniklý sacharid.

Absorpcí fotonu s vhodnou energií se molekula fotosyntetického pigmentu dostane do excitovaného stavu, v reakčním centru pak následuje oxidace a přenesení elektronu na primární akceptor. Z molekuly pigmentu se stane kation, který je redukován primárním donorem. Výsledkem sledu oxidačně-redukčních reakcí v procesu přeměny energie je redukovaný terminální akceptor, oxidovaný terminální donor a opět elektricky neutrální molekula pigmentu.

Existují dva typy fotosyntetizujících organismů:

- 1) Používající anoxygenní typ fotosyntézy; patří sem purpurové bakterie, zelené bakterie a heliobakterie, kterým jako elektronový donor slouží redukované organické sloučeniny nebo sulfan. Produktem fotosyntézy není kyslík.

- 2) Používající oxygenní typ fotosyntézy; patří sem sinice, řasy, vyšší rostliny, kde se uplatňuje oxidace vody na kyslík. Voda slouží jako donor elektronů a protonů.

S přenosem elektronů dochází ve fotosyntéze i k přenosu protonů, vzniká rozdíl koncentrace H^+ iontů na obou stranách thylakoidních membrán. (protonový gradient). Při vyrovnávání gradientu se uvolňuje energie, která se přeměnuje na energii chemickou. Fotosyntéza zahrnuje dva typy pochodů:

- 1) Reakce závislé na světle (fotochemické reakce) – využívají energii světla k vytvoření redukovaného nikotinamidadenindinukleotidfosfátu (NADPH) a makroergické sloučeniny adenosintrifosfátu (ATP). Energie světelná se zde přeměnuje v energii chemickou /1/.
- 2) Reakce nezávislé na světle (temnostně-chemické reakce) v nichž NADPH a ATP pohání syntézu sacharidů z oxidu uhličitého a vody /1/.

Fotosyntetický aparát světelné fáze fotosyntézy tvoří pět supramolekulárních komplexů:

- 1) Světlosběrný anténní systém
- 2) Fotosystém II (PS II)
- 3) Komplex cytochromů typu b₆/f
- 4) Fotosystém I (PS I)
- 5) ATP-synthasa

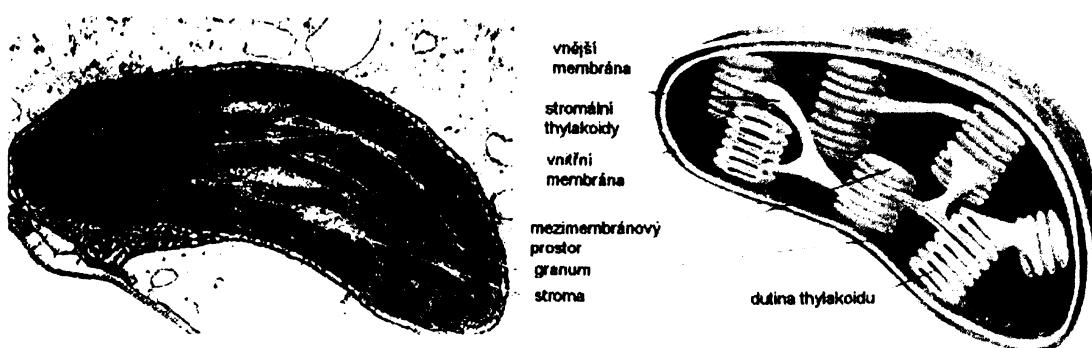
Reakce nezávislé na světle, které využívají ATP a NADPH k tvorbě sacharidů, představuje Calvinův cyklus. Tvoří ho dvě části:

- 1) Produkční část – tři molekuly Rbu-5-P (ribulosa-5-fosfát) reagují se třemi molekulami oxidu uhličitého, vznikne šest molekul Gra-3-P (glyceraldehyd-3-fosfát), přičemž se spotřebuje devět molekul ATP a šest molekul NADPH /1/.

- 2) Regenerační část – uhlíkové atomy pěti molekul Gra-3-P, se přeskupují reakcemi podobnými pentosofosfátové dráze. Výsledkem je regenerace tří molekul Rbu-5-P, s nimiž cyklus začala jedna molekula Gra-3-P /1/.

1.1.1 Lokalizace fotosyntézy

U eukaryot (řasy, vyšší rostliny), probíhá fotosyntéza v chloroplastu.



Obrázek 1.1

Elektronová mikrografie (a) a schematický nákres (b) chloroplastu z kukuřice /1/.

Je to buněčná organela bohatá na membrány. Může být v buňce jedna nebo jich může být více. Jeho nejběžnější tvar je elipsoid dlouhý asi 5 μm . Má silně propustnou vnější obalovou membránu a nepropustnou vnitřní obalovou membránu, přičemž obě jsou odděleny mezimembránovým prostorem. Prostor obklopený vnitřní membránou obsahuje stroma, což je koncentrovaný roztok enzymů s molekulami DNA, RNA a ribosomy, kde se syntetizují chloroplastové bílkoviny. Ve stromatu se nachází třetí soustava membrán tzv. thylakoidy. Jsou to ploché váčky poskládané do sloupců. Tak vytvářejí grana, která jsou propojena thylakoidy probíhajícími jednotlivě stromatem označovanými jako lamely. Thylakoidy vznikají jako vchlípeniny vnitřní obalové membrány /2/.

Lipidy, které obsahují thylakoidní membrány jsou z 10 % fosfolipidy, z 80 % nepolární mono- a digalaktosyldiacylglyceroly a zbývající procenta představují

sulfolipidy resp. Sulfochinovosyldiacylglyceroly /3/. Vytvářejí dvouvrstvu, hydrofobními konci orientovanou k sobě a hydrofilními od sebe.

Dále pak obsahují proteiny, které mají funkční i strukturní funkci /4/.

Reakce závislé na světle probíhají v thylakoidních membránách. U fotosyntetizujících prokaryot v plazmatické membráně a nebo v bohatě členěných vchlípeninách této membrány, které se nazývají chromatofory.

1.1.2 Fotosyntetické pigmenty

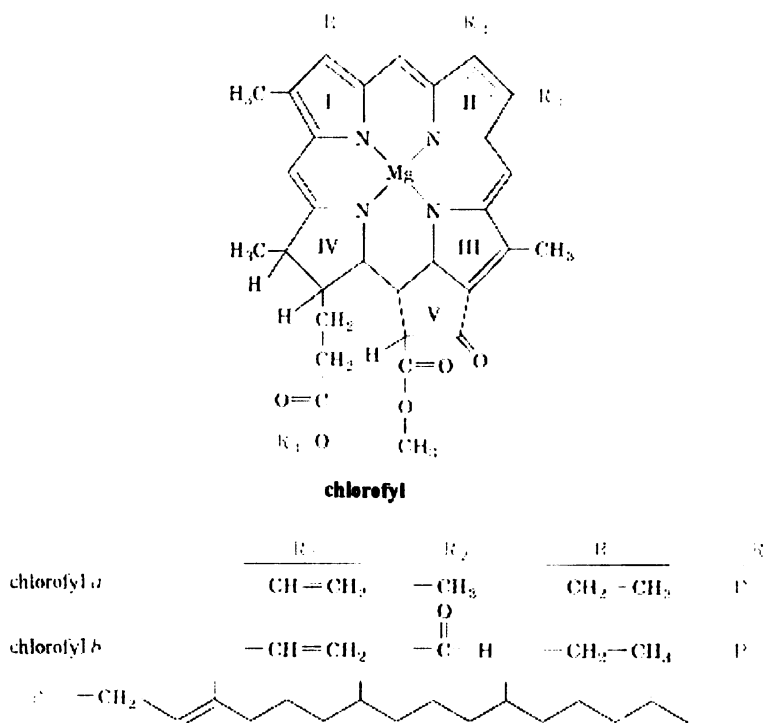
Existují tři kategorie fotosyntetických pigmentů:

- 1) Chlorofyly (porfyríny)
- 2) Fykobiliny (lineární substituované tetrapyrolové řetězce)
- 3) Karotenoidy (isoprenoidy)

Jejich funkcí je zachycení kvanta záření a přenos energie excitovaného stavu na chlorofyl **a** v reakčním centru.

Chlorofyly

Jsou hlavním fotoreceptorem ve fotosyntéze, fungují jako světlosběrné antény absorbující fotony. Základní strukturou je porfyrin. Porfyriny jsou tetrapyroly vzájemně spojené methinovými můstky s velkým počtem konjugovaných dvojných vazeb. Chlorofyly obsahují centrální atom hořčíku. Mají podobnou strukturu, liší se v substituentech na uhlících v poloze 2 až 10, přítomností fytylu nebo farnesylu, jedním nebo dvěma dehydrogenovanými jádry a v δ -methinovém můstku /5/.



Obrázek 1.2

Chemické vzorce chlorofylu a a b /1/.

Vedle porfyrinu (zabezpečuje fotochemické vlastnosti molekuly) obsahují také isoprenoidní fytolový zbytek s dvaceti atomy uhlíku.

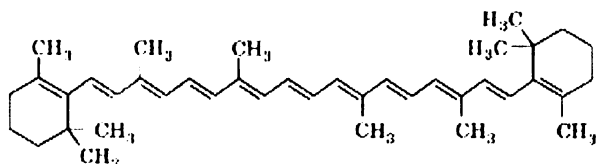
Typy chlorofylů:

- 1) chlorofyl **a** – je vlastním transformátorem energie ve fotosyntéze a uplatňuje se při ději, kdy dochází k přeměně elektromagnetického záření v energii chemickou. Porfyrinová část molekuly je hydrofilní, převládající fytylová lipofilní.
- 2) chlorofly **b** až **d** – mají pouze pomocnou funkci, zachycují kvanta dopadajícího záření a energii svého excitovaného stavu přenášejí na chlorofyl **a**. Proto se nazývají pomocná nebo doplňková barviva /5/.

Karotenoidy

Jsou to isoprenoidy, které obsahují všechny rostliny zelené i mnohé fotosyntetické bakterie. Patří sem:

1) karoteny (např. β karoten)



Obrázek 1.3

Strukturní vzorec β -karotenu /6/.

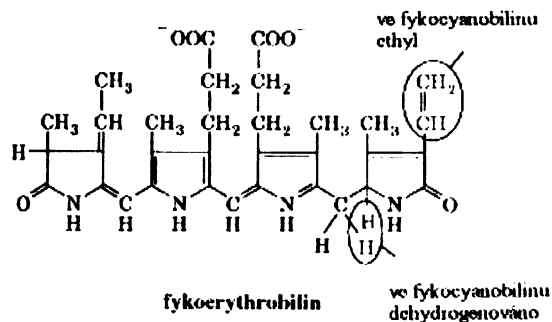
2) xantofyly – jsou kyslíkaté deriváty karotenů a hojný výskyt mají především v anténních komplexech /5/

Karotenoidy slouží jako doplňkové pigmenty přenášející absorbovanou světelnou energii na molekuly chlorofylu. Dále chrání fotosyntetický aparát před nevratnou fotooxidací.

Fykobiliny

Jsou lineární tetrapyrolová barviva, vyskytuje se v sinicích a některých skupinách řas. Patří sem:

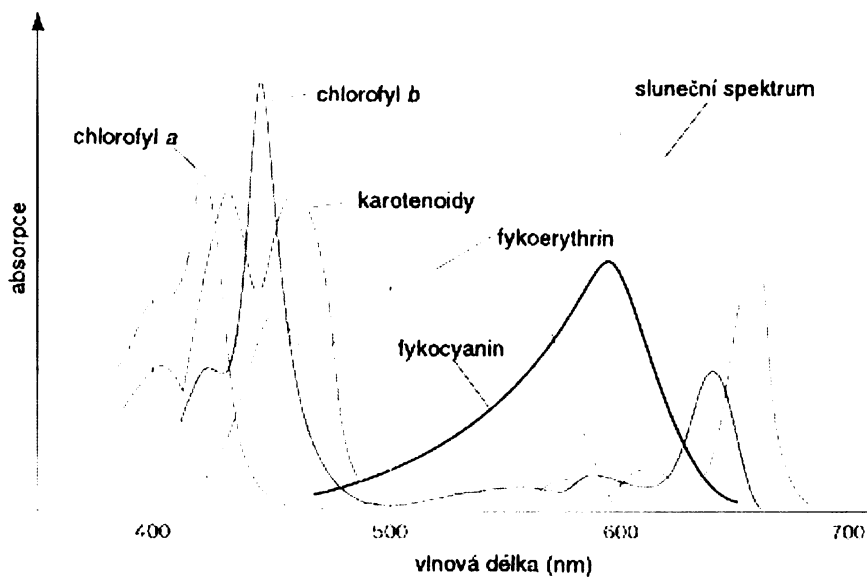
- Fykoerythrocyaniny (PEC, absorpční maximum je 575 nm)
 - Fykoerythriny (PE, absorpční maximum je 565-575 nm) – vázány spolu s PEC v okrajových částech vnější tyče fykobilisomu
 - Fykocyaniny (PC, absorpční maximum je 615-640 nm) – tvoří část vnějších tyčí fykobilisomů sousedících s jejich jádrem
 - Alofykocyaniny (APC, absorpční maximum je 650-655 nm) – jsou hlavní složkou cylindrického jádra fykobilisomu /8/



Obrázek 1.4.

Strukturní vzorce fykobilinů /1/.

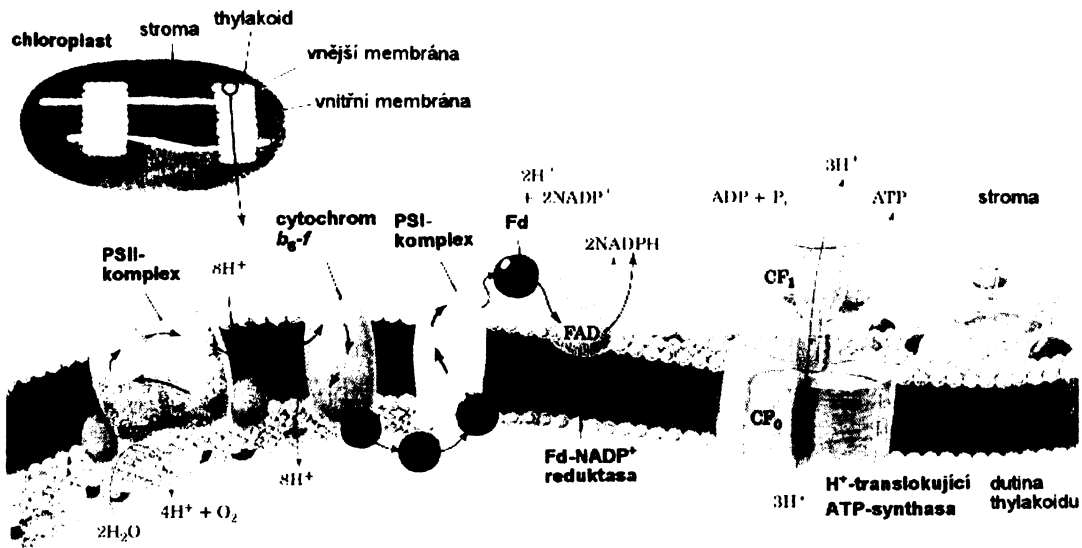
Fykobiliny jsou kovalentně vázány s bílkovinami ve fykobiliproteinech, které tvoří fykobilisomy (rozsáhlé vnější antény sinic). Ty jsou připoutány k vnějšímu povrchu fotosyntetických membrán, takže soustřeďují excitační energii do reakčního centra z poměrně velké vzdálenosti, ale s vysokou účinností.



Obrázek 1.5

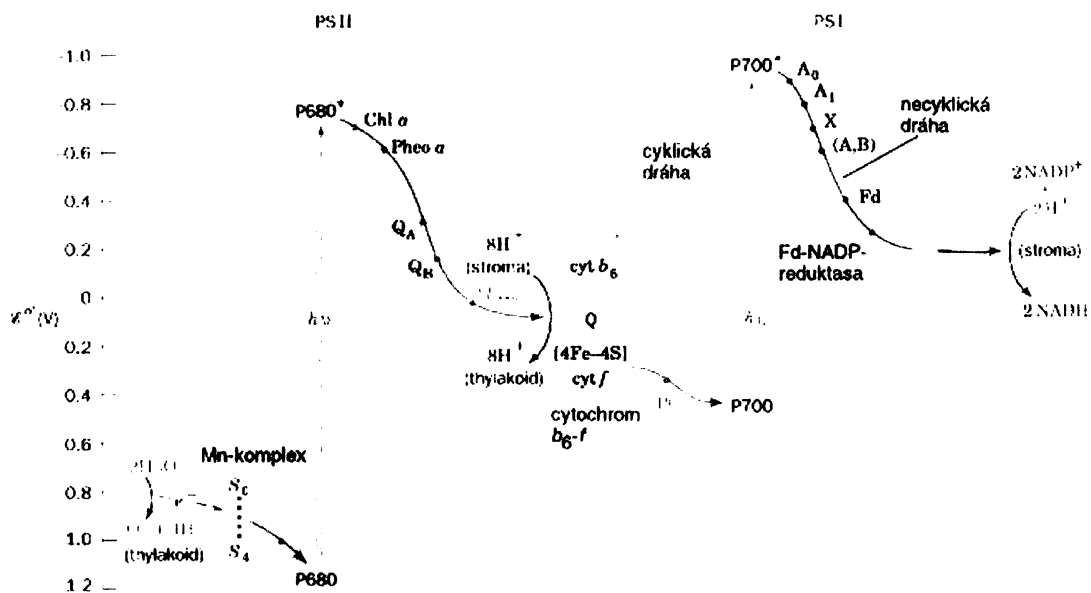
Absorpční spektra různých fotosyntetických barviv. Chlorofily mají dva absorpční pásy, jeden v červené a jeden v modré oblasti. Fykoerythrin absorbuje modré a zelené světlo, kdežto fykocyanin absorbuje žluté světlo. Všechna tato barviva dohromady absorbuji většinu viditelného světla ve slunečním spektru /7/.

1.2 Fotosyntetický aparát



Obrázek 1.6a

Schematické znázornění thylakoidní membrány a jejího řetězce přenosu elektronů /1/.



Obrázek 1.6b

Podrobný nákres fotosyntetického schématu se škálou redoxních potenciálů /1/.

1.2.1 Světlosběrný systém fotosystému II

Hlavním úkolem světlosběrných systémů je absorpcie světelné energie a její předávání molekulám chlorofylu v reakčním centru (RC). Světlosběrnou anténu PS II rozdělujeme na:

- 1) Vnitřní (proximální) část – je tvořena dvěma chlorofyl-proteiny CP 47 a CP 43 (z anglického „chlorophyll-carrying protein“, čísla udávají zdánlivou relativní molekulovou hmotnost určenou SDS elektroforézou v tisících).

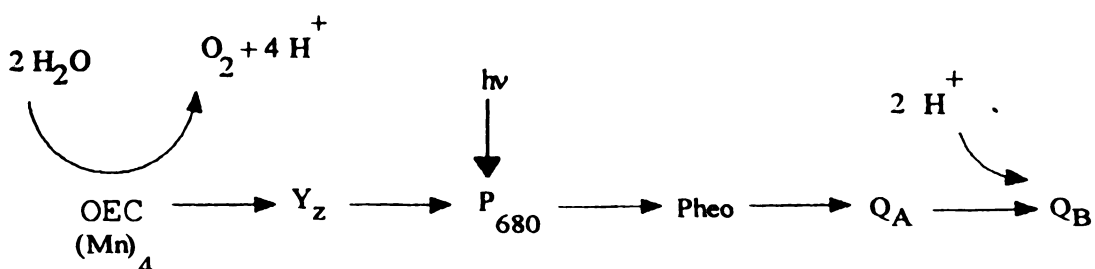
Oba tyto pigmentoproteiny obklopují reakční centrum PS II a molekuly chlorofylu vázané na tyto proteiny absorbují světelnou energii nebo ji přijímají z vnější části antény a předají ji reakčnímu centru PS II. Předpokládá se, že pigmenty jsou vázány na proteiny prostřednictvím histidinových zbytků /9/.

- 2) Vnější (distální) část – základní funkční podjednotkou je trimer proteinu, který tvoří světlosběrný komplex LHC (z anglického „light-harvesting complex“). Je to pigmentproteinový komplex zanořený do thylakoidní membrány, který je prostřednictvím minoritních antén v přímém kontaktu s vnitřní částí antény. Vnější anténa, na rozdíl od vnitřní antény, se může od PS II uvolnit a přesunout k PS I. Je to podmíněné její fosforylací /1/.

1.2.2 Fotosystém II

Fotosystém II zprostředkuje oxidaci vody a redukci plastochinonu. Nazýváme ho proto H_2O – plastochinon-oxidoreduktasou /9/. Oxidace vody probíhá pouze u organizmů s oxygenním typem fotosyntézy. Zachycená energie je z antennních komplexů přenesena do reakčního centra fotosystému II, kde probíhá vlastní proces oddělení nábojů. Reakční centrum fotosystému II je tvořeno heterodimerem dvou membránových proteinů D_1 a D_2 , podjednotkami α a β cytochromu b_{559} a menšími proteiny. Zmíněný heterodimer váže další kofaktory a prosthetické skupiny důležité pro oxidačně-redukční reakce navazující na separaci nábojů.

K té dochází na chlorofylovém dimeru P680 (podle absorpčního maxima), který leží v centru heterodimeru. Z P680 je elektron přenášen na molekulu feofytinu (Pheo) a vzniklý kation $P680^+$ je rychle redukován donorem-tyrosylovým zbytkem proteinu D₁. Redukci tyrosylového zbytku zajistí tzv. OEC (z anglického „oxygen-evolving complex“). Elektron z feofytinu přechází přes primární plastochinonový akceptor vázaný na molekulu proteinu D₂ (Q_A) na sekundární plastochinonový akceptor vázaný na molekulu proteinu D₁ (Q_B). Přijetím jednoho elektronu se z Q_B stává semichinonový radikál, který je schopen přijmout další elektron za vzniku chinolového aniontu. Ten přijme z cytoplazmatické strany membrány dva protony a v plně redukované formě opouští vazebné místo na D₁. Své elektrony předá komplexu cyt b₆/f. Do vazebného místa se na D₁ naváže nová molekula plastochinonu pocházející z plastochinonového zásobníku (z anglického „pool“). Q_B je zde molekulou, v níž se dva světlem poháněné jednoelektronové přenosy spojí ke dvouelektronové chemické redukci /1/.



Obrázek 1.7

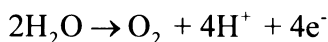
Pořadí elektronových přenašečů mezi komplexem vyvíjejícím kyslík (OEC) a plastochinonem Q_B (symboly viz seznam zkratek) /10/.

1.2.3 OEC-komplex vyvíjející kyslík

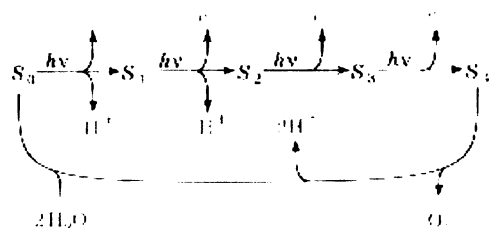
Kyslík v atmosféře je produkován procesem probíhajícím v komplexu hydrofilních proteinů OEC (z anglického „oxygen-evolving complex“).

Komplex je uložen na luminální straně thylakoidní membrány a skládá se ze tří proteinů P 33, P 23 a P 17 (u sinic jsou pouze dva) /11/.

Pro vznik jedné molekuly kyslíku se musí oxidovat dvě molekuly vody:



Oxidace vody probíhá pětistupňovou reakcí na shluku čtyř atomů manganu. Tento shluk podléhá „S-cyklu“ s redoxními stavami OEC označovanými S₀-S₄. Každý krok cyklu představuje oxidačně-redukční reakci s absorpcí jednoho fotonu. Přechod ze stavu S₄ na stav S₀ je doprovázen uvolněním molekuly kyslíku do dutiny thylakoidu a souběžně v každém kroku (kromě přechodu S₂-S₃) dojde k uvolnění protonu /1/.



Obrázek 1.8

Schéma „S-cyklu“, jímž v chloroplastech vzniká O₂ /1/.

1.2.4 Komplex cyt b₆/f

Podílí se na lineárním transportu elektronů z vody na NADP⁺. Jeho úkolem je přenášet elektrony z plastochinonu na plastocyanin a protony z vnější strany thylakoidní membrány na vnitřní stranu, podobně jako v dýchacím řetězci. Komplex se skládá se čtyř větších a několika menších transmembránových proteinů (cytochrom f, cytochrom b₆, Rieskeho protein, který obsahuje shluk dvou atomů železa a dvou atomů síry a podjednotky IV) /12/. Funkcí komplexu je odebírat elektrony z redukovaného plastochinonu a předávat je plastocyaninu (rostliny) nebo cytochromu b₅₅₃ (sinice).

Přenos elektronů je doprovázen přenosem protonů přes thylakoidní membránu, čímž se komplex podílí na vzniku protonového gradientu k syntéze ATP v komplexu ATP-synthasy.

Existuje v monomérní nebo dimérní formě a aktivitu vykazuje pouze jeho dimérní forma /13/.

1.2.5 Fotosystém I a světlosběrný systém

Světelná energie je ve fotosystému I (PS I), tak jako ve fotosystému II, využívána k pohonu endergonické reakce. Podobně jako u světlosběrného systému PS II i zde rozdělujeme vnější a vnitřní část anténního komplexu. Důležitý rozdíl ve vnější anténě PS I oproti PS II je v tom, že proteiny LHC II jsou reverzibilně fosforylovány. Vnitřní anténa je spojena s vnější anténou a je tvořena částmi proteinů základního heterodimeru reakčního centra nesoucím chlorofyl **a**. Vnější anténa bývá označována jako LHC I (z anglického „light-harvesting complex“) a nachází se kolem PS I tak, aby se zářivé energie zachytily co nejvíce /3/.

Absorbované sluneční záření se přenáší z fosforylovaného LHC II na LHC I, pak do PS I, kde se využije na přenos elektronu proti směru spádu oxidačně-redukčního potenciálu z plastocyaninu na NADP⁺. Jde tedy o systém plastocyanin – ferredoxin-oxidoreduktasu.

Jádro fotosystému I je dimer /14/ složený ze dvou téměř identických podjednotek PsaA (83 kDa) a PsaB (82,4 kDa) /15/, na který jsou navázány molekuly pigmentu vnitřní světlosběrné antény a kofaktory účastníci se přenosu elektronů a procesu separace nábojů. Fotosystém I obsahuje dále 4 vnější podjednotky PsaC, PsaD, PsaE, PsaF /15/. Ke komplexu fotosystému I počítáme ještě několik malých podjednotek Psal, Psaj, PsaK, PsaL, PsaM a PsaN, které stabilizují kvartérní strukturu fotosystému I /16/. Polypeptidy PsaG a PsaH pravděpodobně vážou anténní komplexy LHC I /16/. Na heterodimer se vážou molekuly chlorofylu **a**, které přenášejí energii zachycenou světlosběrným systémem PS I do chlorofylu reakčního centra, označovaného jako P700

(absorpční maximum při 700 nm). P700 je tvořen dimerem chlorofylu **a**. PS I obsahuje další složky účastnící se přenosu elektronů. Je to molekula chlorofylu **a** označovaná jako A₀, dále transport pokračuje přes molekulu fylochinonu A₁,Fe₄S₄(F_x), Fe₄S₄ (F_a nebo F_b), ferredoxinu, flavodoxinu až na konečný akceptor NADP⁺. Kromě tohoto lineárního, necyklického toku elektronů se může PS I podílet i na cyklickém toku okolo PS I. V případě cyklického i necyklického toku ubývá protonů ve stromální části thylakoidní membrány, tedy vně thylakoidy a tak vzniká protonový gradient /17/.

1.2.6 ATP-synthasa

Probíhá zde uskladnění chemické energie vkládané do molekul ATP vznikajících z adenosindinukleotid fosfátu ADP a anorganického fosfátu. Hybnou silou pro syntézu je koncentrační rozdíl protonů na obou stranách thylakoidní membrány.

Složení ATP-synthasy:

- 1) integrální membránový komplex CF₀ (protonový kanál), propouští přebytek protonů z lumen na stromální stranu thylakoidní membrány a je tvořen čtyřmi proteiny /18/
- 2) periferní membránový komplex CF₁ (je spojovacím faktorem mezi tvorbou NADPH a tvorbou ATP)

Na syntézu jedné molekuly ATP je zapotřebí přes thylakoidní membránu přenést tři až čtyři protony /19, 20/.

1.3 Sinice

Patří mezi gramnegativní eubakterie. Jsou autotrofní a současně jsou nejstaršími kyslík produkovacími organizmy na Zemi (fosílie staré 3,5·10⁹ let pochází z formace Apex Basolt v Austrálii) a v současní době je platně popsáno 241 rodů /8/. Mohou tvořit kolonie nebo se vyskytují jako jednotlivé buňky až vlákna. Některé vláknité formy mají specializované buňky heterocysty, ve kterých probíhá fixace vzdušného dusíku a akinety, což jsou klidové buňky

určené k přetrvání nepříznivých období. Nacházíme u nich i silné slizové pochvy, do kterých ukládají různé látky (barviva, krystaly vápence) jako ochranu proti nárůstu epifytu /21/.

Buňky sinic neobsahují chloroplasty a thylakoidy jsou uloženy přímo v cytoplazmě. Jsou silně adaptabilní a vyskytují se ve sladkých vodách, v povrchových vrstvách půdy nebo v horkých pramenech a tvoří i součást mořského fytoplanktonu.

1.3.1 Klasifikace sinic

Rozdělujeme je do čtyř řad:

- 1) *Chroococcales* – jednotlivé buňky, tvoří někdy kolonie
 - Chroococcus
 - Microcystis – součást vodních květů
- 2) *Oscillafoccales* – jednoduchá nevětvená vlákna bez specializovaných buněk
 - Arthrospora
 - Oscillatoria (drkalka)
 - Phormidium (půdní sinice)
- 3) *Nostocales* – vlákna, někdy nepravě větvená, s heterocystami
 - Anabaena (vodní květy)
 - Gloeotrichia (makroskopické kulovité kolonie vyskytující se ve vodě nebo na vodních rostlinách)
 - Nostoc (jednořadka – půdní rod s makroskopickými koloniemi)
- 4) *Stigonematales* – pravě se větvící se vlákna s heterocystami
 - Mastigocladus (horké prameny)
 - Stigonema

U vláknitých sinic (vlákno vzniká, je-li stélka navíc kryta slizovou pochvou) je řada buněk propojena plazmatickými vlákny tzv. trichomy.

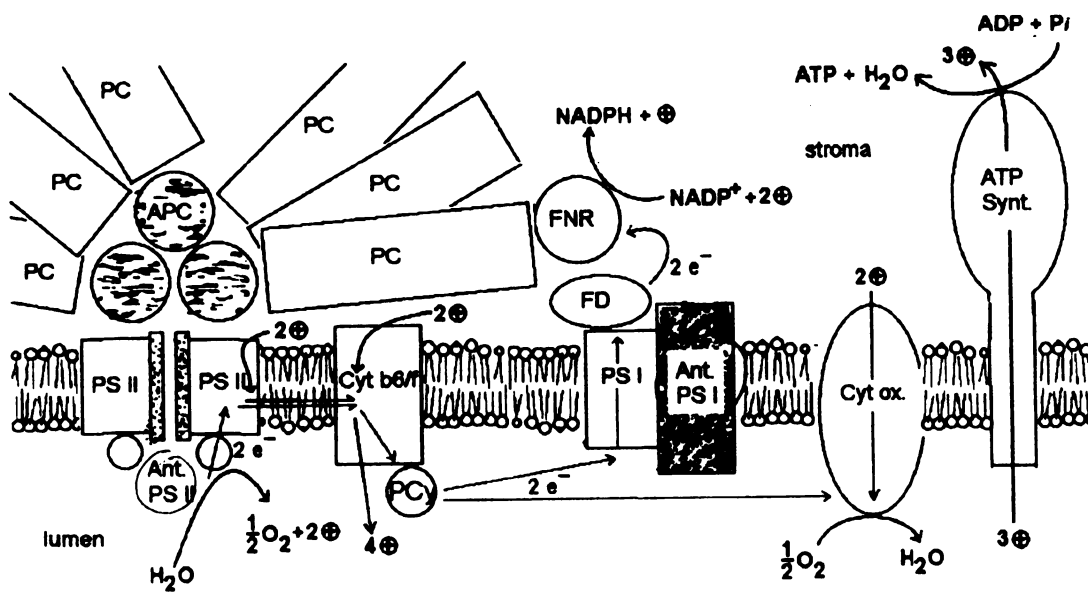
Větvení u sinic je dvojího druhu:

- 1) Pravé – způsobené změnou roviny dělení buněk /21/
- 2) Nepravé – vzniká přerušením vlákna po odumření buňky nebo přeměnou heterocysty /21/

1.3.2 Fotosyntéza u sinic

Fotosyntéza probíhá v thylakoidech, které se formují u sinic obvykle v jednoduché váčky a nedochází k sdružování a formování do gran. Hlavním barvivem je chlorofyl a, přídavnými barvivy jsou xantofily a β -karoten, které pomáhají zachytávat záření v modré části světelného spektra a karotenoidy navíc chrání buňky před působením volných radikálů. Fykobiliny jsou uspořádány do tělísek zvaných fykobilisomy a uložených na povrchu thylakoidů. Fungují jako světlosběrné antény. Jako donor elektronů sinice používají vodu a jako zdroj uhlíku oxid uhličitý. Odpadním produktem je kyslík.

Mají schopnost chromatické adaptace, tj. při horších světelných podmínkách mohou měnit poměry fotosyntetických barviv tak, aby jejich světlosběrné antény zachytily maximum využitelného záření.



Obrázek 1.9

Fotosyntetický aparát sinic. Ant. PS I, II, anténa fotosystému I, II; APC, cylindrické jádro fykobilisomů; ATP Synt, ATP synthasa; Cyt b₆/f, cytochrom b₆/f komplex; Cyt ox, cytochrom oxidasa; FD, feredoxin; FNR, feredoxin- NADP⁺ oxidoreduktasa; PC, vnější část fykobilisomů; PCy, plastocyanin; PS I, II, fotosystém I, II /22/.

1.3.3 Rozdíly ve fotosyntéze sinic a vyšších rostlin

- 1) Thylakoidní membrány u sinic jsou přímo v cytoplazmě a neorganizované do gran.
- 2) Sinice neobsahují chlorofyl **b** a hlavními světlosběrnými pigmenty jsou fykobiliny seskupené ve fykobilisomech lokalizovaných na povrchu thylakoidních membrán /23/, zatímco cévnaté rostliny obsahují chlorofyl **a** i **b** a světlosběrný chlorofyl-proteinový komplex je integrální součástí thylakoidní membrány.
- 3) Elektronového transportu se při fotosyntéze a při respiraci u sinic účastní stejný plastoquinonový zásobník (z anglického „pool“) a stejný komplex cytochromu b₆/f, zatímco v cévnatých rostlinách je fotosyntéza a respirace omezena na oddělené organely /24/.

1.4 Vliv kademnatých iontů na fotosyntézu rostlin

Kontaminace životního prostředí škodlivými látkami se stává stále vážnějším problémem. Nejnebezpečnějšími kontaminanty jsou těžko odbouratelné toxicke látky, procházející potravní pyramidou od základních producentů v jejich nejnižších patrech, až ke konzumentům na jejím vrcholu. K takovým látkám patří i těžké kovy. Jsou to kovy s hustotou větší než 5 g cm^{-3} /25/. Významná skupina těchto kovů má toxicke účinky. Některé z nich jsou však v nízkých koncentracích pro buňku nepostradatelné (Cu, Mn, Co). Toxicke kovy jsou těžké kovy, které nejsou esenciální pro živé buňky a zároveň mají toxicke účinky (Cd, Hg, Pb, As).

1.4.1 Ionty kadmia a jeho toxicke vlastnosti

Kadmium nemá toxicke účinky jenom na člověka. Prokázaly se také jeho negativní vlivy u rostlin a dalších fotoautotrofních organizmů. To jsou hlavně nejvýznamnější producenti zemské biomasy a vstupní brána pro ionty toxicke kovů do ostatních organizmů včetně člověka. Nastanou-li pro ně nepříznivé podmínky, nemají možnost, na rozdíl od většiny živočichů, se přemístit do vhodnějšího prostředí. Během evoluce byly tedy nuceny vyvinout jiné způsoby reakce na přítomnost stresujících faktorů. V případě toxicke kovů jde především o různé způsoby imobilizace, např. sorpce na pevné buněčné struktury, uskladnění ve vakuolách, či chelatace metalothioneiny (speciální peptidy s vysokým obsahem cysteinu, jejichž syntéza je aktivována právě přítomností těžkých kovů). Tyto postupy umožňují rostlinám do jisté míry eliminovat toxicitu těžkých kovů ve vlastních buňkách. Neumožňují však jejich vyloučení z těla, v němž se takto akumulují a nejsou tedy odstraněny ani z potravního řetězce. Avšak některé kryptosemenné rostliny jsou schopny hyperakumulace toxicke kovů /26/, tj. akumulace v koncentracích několikrát vyšších, než je v okolní půdě nebo vodě. To znamená, že tyto rostliny mohou být pěstovány v kontaminovaném prostředí a vzniklá biomasa odstraněna i

s akumulovanými ionty těžkých kovů. Mluvíme o procesu fytoremediace /27/, který se uplatňuje jako způsob dekontaminace půdy.

Vlastnost hyperakumulace byla pozorována též u některých druhů sinic a využita k podobnému účelu při dekontaminaci vodního prostředí.

Ionty kadmia mají na rostliny negativní vliv hned v několika krocích:

- 1) Způsobují změny v lipidovém složení thylakoidních membrán.
- 2) Mají vliv na supramolekulární komplexy obou fotosystémů PS I, PS II /28/.
- 3) Ionty kadmia ochotně reagují s thiolovými skupinami proteinů (včetně enzymů). To je mechanizmus, kterým kademnaté ionty inhibují syntézu chlorofylu.
- 4) V některých případech mohou ionty kadmia soutěžit o vazebná místa esenciálních kovů, například nahrazují ionty hořčíku v molekulách chlorofylu, které potom nemohou plnit svou světlosběrnou či redoxní úlohu.

Jako další známé vlastnosti iontů kadmia na existenci rostlin byly zaznamenány tyto výsledky (při koncentraci kademnatých iontů 0 – 100 mmol/l, v naší laboratoři):

- 1) Prokazatelný vliv na fotochemické pochody v thylakoidních membránách i enzymatické reakce fixace oxidu uhličitého (RubisCo, PEPC). Enzymy fixace oxidu uhličitého jsou značně inhibovány a vysoké koncentrace iontů kadmia mohou vést až k irreversibilní disociaci podjednotek (RubisCO) nebo k úplné inhibici enzymu /29, 30/.
- 2) Aktivita fotosystému II při vyšších koncentracích kademnatých iontů byla výrazně snížená, nižší koncentrace však mají stimulační účinek /31/.
- 3) Inhibice fotosystému I je mírnější /32/.

- 4) Sinice *Synechococcus elongatus* jsou výrazně odolnější vůči působení kademnatých iontů než vyšší rostliny a akumulují tyto ionty tím více, čím je vyšší jejich výchozí koncentrace v kultivačním mediu /32/.

1.4.2 Bioremediace toxických kovů kontaminujících vody a půdy

V povrchových i v podzemních vodách jsou přirozeně všechny kovy. Mnohé z nich jsou pro život v stopových množstvích nepostradatelné, ale ve vyšších koncentracích mohou být škodlivé. Hlavně škodlivé jsou kovy s toxickými vlastnostmi, které patří mezi nejvýznamnější anorganické kontaminanty vod a půd (As, Cd, Co, Cu, Hg, Ni, Pb, Se, U, a Zn). Dekontaminace oblastí znečištěných toxickými kovy představuje jeden z důležitých předmětů výzkumu současné vědy.

Bioremediace /33/ je definována jako používání živých organismů, resp. jejich částí (např. enzymů), na eliminaci nebo snižování environmentálního nebezpečenství akumulace toxických xenobiotik. Jako živé organismy se používají bakterie, plísně, kvasinky, ale také řasy, plankton a rostliny.

Remediační techniky je možno rozdělit do dvou skupin:

- 1) Nepřímé remediacie (ex situ), zaobírají se úpravou (sanací) vytěžené půdy na místě nebo speciálními úpravami mimo místa znečištění podle konkrétních podmínek.
- 2) Přímé remediacie (in situ), uskutečňují se přímo na místě úpravou (sanací) znečištěné půdy nebo vody.

Při remediacích těžkých kovů můžeme použít tři typy technik – oslabení, stabilizaci a odstranění polutantu /33/.

Remediační techniky, vyvinuté pro anorganické polutanty, jsou hlavně fytoremediace, t.j. využití rostlin při remediaci znečištěné půdy. Patří k nim:

- fytoextrakce in situ – je extrakce polutantů z půdy svým kořenovým systémem a uskladnění jejich zelené biomasy. Přičemž celý proces je

možné periodicky opakovat až do požadovaného snížení celkového znečistění. Získaná biomasa se následně zpracuje tak, aby došlo k zakoncentrování polutantu a to mikrobiálně (kompostováním), tepelně (zpopelněním nebo spalováním) nebo chemicky /33/.

- fytostabilizace – je využití schopnosti rostlin chemicky fixovat nebo stabilizovat polutanty v půdě. Proces zahrnuje sorpci a srážení, komplexaci a oxidačně-redukční procesy /33/.

Další remediační metody s menším využitím rostlin jsou:

- vyplavování extrakce in situ (podobná metoda a postup jako u vyplavování)
- elektrokinetika
- Zpevňování (stabilizace)
- vitrifikace in situ

Fytoremediaci chápeme v bližším významu jako sanační postup, který využívá schopnosti rostlin kumulovat těžké kovy bez závažnějších poškození jejich metabolismu. Rostliny a sinice se využívají na fixaci, akumulaci a rozklad nebezpečných kontaminantů ze životního prostředí.

1.5 Cíl práce

- Aplikovat „červenou“ nativní elektroforézu na dělení pigmentoproteinových komplexů thylakoidních membrán sinic.
- Zjistit vliv různých koncentrací kademnatých iontů na aktivitu fotosystému II a zastoupení pigmentoproteinových komplexů thylakoidních membrán sinice *Synechococcus elongatus*.

2 Materiál a metody

2.1 Biologický materiál

Při vypracování diplomové práce, jsem pro studium fotosyntézy používala termofilní sinici *Synechococcus elongatus* *Nägeli*, forma *thermalis* Geitl. Kmen Kovrov 1972/8 pochází ze sbírek Sibiřského oddělení tehdejší AV SSSR v Krasnojarsku.

Tento druh sinice velmi dobře snáší kultivaci i při umělých podmínkách a je dlouhodobě dopěstováván v Mikrobiologickém ústavu AV ČR v Třeboni. Buňky se pěstují při 57 °C v kultivačních nádobách válcovitého tvaru, které se kontinuálně probublávají vzduchem obohaceným 2 % oxidu uhličitého a osvětlují žárovkami Osram 500 W (max. 200 W/m²). Kultivačním roztokem bylo modifikované médium podle Kratze a Meyerse /34/, jehož složení udává tabulka 2.1.

Sloučenina	Koncentrace (mmol/l)
KNO_3	10,0
NaNO_3	11,8
K_2HPO_4	5,7
HgSO_4	2,10
NaHCO_3	10,0
Chelatonát železitosirný ($\text{C}_{10}\text{H}_{12}\text{N}_2\text{O}_8\text{FeNa}$)	0,2
CaCl_2	0,14
H_3BO_3	0,025
$\text{MnSO}_4 \cdot 4\text{H}_2\text{O}$	0,0025
$\text{CaSO}_4 \cdot 7\text{H}_2\text{O}$	0,0025
$\text{CuSO}_4 \cdot 5\text{H}_2\text{O}$	0,0025
$\text{ZnSO}_4 \cdot 7\text{H}_2\text{O}$	0,0025
$(\text{NH}_4)_2\text{Mo}_7\text{O}_{24} \cdot \text{H}_2\text{O}$	0,0007

Tabulka 2.1.

Složení kultivačního media. pH roztoku je 7,6.

2.2 Seznam chemikálií

Chemikálie použité při vypracování této práce:

- n-dodecyl-β-D-maltosid (dodecylmaltosid), Sigma, USA
- lysozym, Drůbežářský průmysl, Praha
- hovězí sérumalbumin (BSA), Imuna, Slovensko (Sevac, ČR)
- Brilliant Blue R, Sigma, USA
- N, N'-methylenbisakrylamid (Bis), Serva, Německo
- N, N, N', N'-tetramethylethylendiamid (TEMED), Serva, Německo

- tris(hydroxymethyl)-aminomethan (Tris), Fluka, Švýcarsko
- 2,6-dichlorfenolindofenol (DCPIP), Lachema, ČR
- 1,5-difenylkarbazid (DCP), Lachema, ČR
- 2-merkaptoethanol, Fluka, Švýcarsko
- N-(2-hydroxyethyl)piperazin-N'-(ethansulfonová kyselina) (HEPES), Sigma, USA
- CdCl₂.5H₂O, pentahydrát chloridu kademnatého, Lachema, ČR
- MgCl₂.6H₂O, hexahydrát chloridu hořečnatého, Lachema, ČR
- 2-morfolinethansulfonová kyselina (MES), Boehringer Mannheim GmbH, Německo
- Protein standard mixture, Sigma, USA
- Ferritin (Fer), Serva, Německo
- Katalasa, Serva, Německo
- Bis(2-hydroxyethyl)amino-tris(hydroxymethyl)methan (Bis-Tris), Sigma, USA
- ε-amino-n-kapronová kyselina, Sigma, USA
- n-tris(hydroxymethyl)methylglycin (Tricine), Sigma, USA
- fenylmethylsulfonyl fluorid (PMSF), Sigma, USA
- 3-hydroxy-4-[2-sulfo-4-(4-sulfofenylazo)fenylazo]-2,7-naftalendisulfonát sodný (Ponceau S), Loba Feinchemie, Rakousko
- Akrylamid, Sigma, USA
- Glycin, Reanal, Maďarsko

Všechny ostatní použité chemikálie, neuvedené v tomto seznamu, byly ve stupni čistoty p.a.

2.3 Izolace thylakoidních membrán sinic

Metoda pro izolaci thylakoidních membrán sinic byla modifikována podle Schatze a Witta /35/. Obsahuje několik kroků.

Po odstranění kultivačního média centrifugací ($2500 \times g$, 10 min., $4^{\circ}C$, odpovídá 4000 rpm na centrifuze MPW-3600), jsem sediment jednou až dvakrát promyla roztokem MH (složení udává tabulka 2.2.). Promytí spočívá v resuspendování sedimentu ve zhruba desetinásobném objemu promývacího roztoku a jeho následném odstranění centrifugací za stejných podmínek.

Promyté buňky jsem resuspendovala ve 100 ml pufru MHM (složení udává tabulka 2.2.), který obsahoval 0,2 % (m/V) lysosymu. Následovala inkubace dvě hodiny při $40^{\circ}C$ za stálého míchání na třepačce Elpan typ 357, Polsko. Lysosym štěpí buněčnou stěnu buněk sinice *Synechococcus elongatus* a získáme tzv. sféroplasty, které jsou stabilní pouze v izotonickém pufru MHM. Získané sféroplasty jsem odstředila ($2500 \times g$, 10 min., $4^{\circ}C$), promyla pufrem MHM a část převedla do pufru MHM tak, aby koncentrace chlorofylu byla v rozmezí 1,0 – 2,0 mg/ml. Zbylou část sféroplastů jsem vystavila osmotickému šoku resuspendováním v hypotonickém roztoku MH. Osmolýzou došlo k vylití buněčného obsahu ze sféroplastů a současně k uvolnění modrých fykobilinoproteinů do roztoku. Po centrifugaci ($2500 \times g$, 10 min., $4^{\circ}C$) jsem sediment thylakoidních membrán několikrát promyla roztokem MH, dokud zbarvení supernatantu nebylo jen slabě modré. Promyté thylakoidní membrány jsem také resuspendovala v roztoku MHM tak, aby suspenze měla koncentraci chlorofylu cca 1,0 mg/ml.

Roztok	Koncentrace (mM)	Sloučenina	m (g)	pH	V (l)
MH	5	MgCl ₂	1,0167	6,5	1
	20	HEPES	4,766		
MHM	5	MgCl ₂	1,0167	6,5	1
	20	HEPES	4,766		
	500	D-manitol	91,09		

Tabulka 2.2.

Složení roztoků použitých při izolaci thylakoidních membrán

2.4 *Centrifugace v sacharosovém hustotním gradientu /36/*

2.4.1 *Princip metody /37/*

Tato metoda umožňuje dělení látek o podobné sedimentační rychlosti. Hustotní gradient se připravuje tak, aby se hustota roztoku směrem ke dnu centrifugační kyvety zvětšovala. Pro přípravu koncentračního gradientu se nejčastěji používá sacharosa. Na gradient se pak nanese směs makromolekul s různou hustotou. Vlivem působení odstředivé síly částice putují rychlostí, která závisí na jejich velikosti, tvaru, hustotě, dále na síle odstředivého pole, hustotě a viskozitě prostředí.

Makromolekuly se zastaví a zakoncentrují na místě, které odpovídá jejich hustotě. Tak se vytvoří zóny, které by měly obsahovat látky ve vysoce purifikovaném stavu.

2.4.2 *Příprava vzorků pro centrifugaci v sacharosovém hustotním gradientu*

K suspenzi izolovaných thylakoidních membrán jsem za stálého míchání na ledu přikapávala roztok dodecylmaltosidu v pufru (složení viz tabulka 2.3.) tak, aby konečná koncentrace chlorofylu byla 0,5 mg/ml a dodecylmaltosidu 20 mmol/l.

Následně jsem směs homogenizovala pomocí injekční stříkačky (jehlu injekční stříkačky jsem přitiskla na stěnu kádinky a nasátou suspenzi pomalu protlačila ven). Homogenizaci jsem několikrát opakovala.

K homogenizovanému vzorku jsem přidala inhibitor proteas PMSF tak, aby jeho výsledná koncentrace byla 0,5 mM. 1,5 ml takto připraveného vzorku jsem nanesla na sacharosový gradient v 70ml kyvetách.

Sloučenina	Koncentrace (mmol/l)
MES	25
NaCl	10
MgCl ₂ ·6H ₂ O	5

Tabulka 2.3.

Složení pufru pro přípravu vzorků k centrifugaci v sacharosovém hustotním gradientu(pH=6,0)

2.4.3 Dělení pigmentoproteinových komplexů centrifugací v sacharosovém hustotním gradientu

K dělení pigmentoproteinových komplexů jsem používala šestnáctistupňový hustotní gradient sacharosy v pufru MNC (složení viz tabulka 2.4.), který obsahoval 0,03 % (m/V) dodecylmaltosid a 0,5 mM PMSF. Dodecylmaltosid a PMSF jsem do pufru přidávala až tesně před použitím.

Nejprve jsem připravila šestnáct roztoků o koncentraci sacharosy 9,1 %, 9,5 % – 18 % (s přírůstkem 0,7 %) a 28,6 %. Gradienty jsem nanášela tzv. podvrstvováním (nejdříve se nanáší nejméně koncentrovaný roztok a nakonec nejvíce koncentrovaný).

Do kyvet o objemu 70 ml jsem podvrstvila patnáct roztoků po 4 ml, poslední šestnáctá vrstva byla 4,5 ml 28,6 % roztoku sacharosy. Takto připravené gradienty jsem nechala přes noc stát v lednici, aby se pomocí difuze ustavil koncentrační gradient sacharosy.

Centrifugace probíhala na ultracentrifuze Beckman Optima LE-80K (USA) s rotorem Ti 45 při 36000 rpm a teplotě 4 °C. Zóny se vytvořily již po 9 hodinách centrifugace. Jednotlivé zóny jsem odsála pomocí injekční stříkačky, naředila pufrem MNC pětkrát (složení pufru viz tabulka 2.4.) s přídavkem 0,03 % dodecylmaltosidu a 0,5 mM PMSF a opět nechala centrifugovat v rotoru Ti-45 při 4 °C a 43000 rpm po dobu 12 hodin. Získaný sediment jsem resuspendovala v minimálním objemu stejného pufru a změřila celkový obsah chlorofylu (viz kapitola 2.6.1.). Nakonec jsem preparát zamrazila v kapalném dusíku a uskladnila v hlubokomrazícím boxu při teplotě -78 °C.

Sloučenina	Koncentrace (mmol/l)
sacharosa	250
MES	25
NaCl	10
CaCl ₂	5

Tabulka 2.4.

Složení pufru MNC pro dělení pigmentoproteinových komplexů v hustotním gradientu sacharosy(pH=5,7)

2.5 Elektroforetické metody

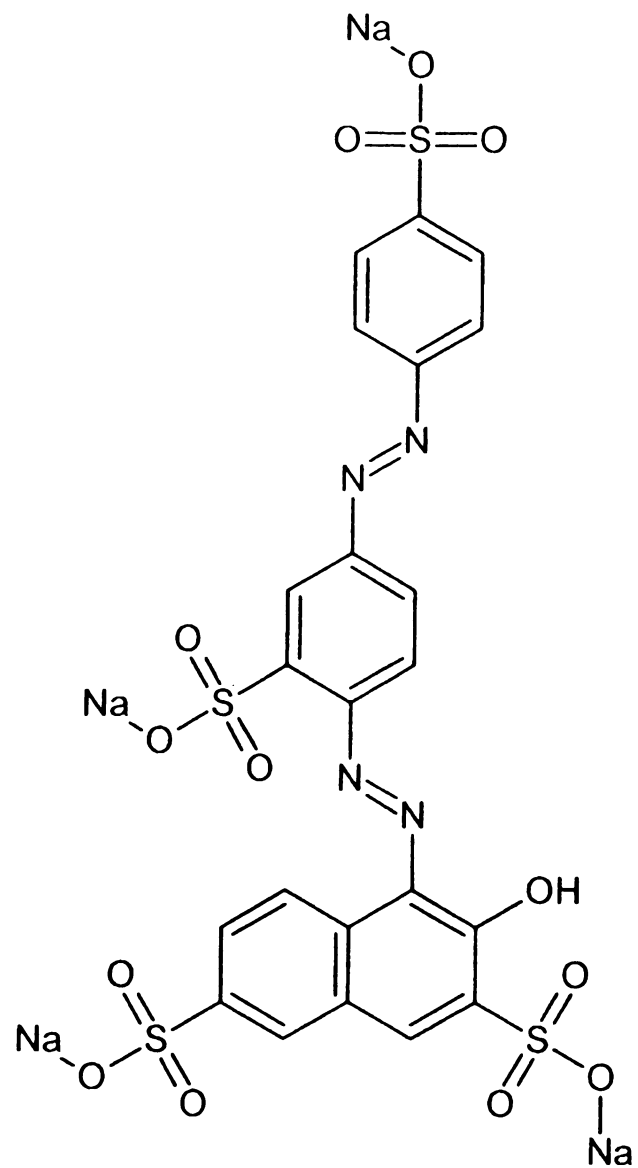
2.5.1 „Červená“ nativní elektroforéza v polyakrylamidovém gelu

2.5.1.1 Princip metody

Vysokomolekulární membránové proteinové komplexy můžeme separovat pomocí „červené“ nativní elektroforézy. Do vzorku a katodového pufru se přidává červené barvivo Ponceau S, které vyvolá změnu náboje na proteinech. Všechny proteinové komplexy s navázaným barvivem mají záporný náboj a

v elektrickém poli se pohybují k anodě. V gelu tedy nedochází k dělení na základě různého náboje, ale na základě různé relativní molekulové hmotnosti.

Ponceau S se váže na bílkoviny pouze slabými interakcemi, můžeme ho tedy vymýt z gelu i bílkovin pomocí destilované vody.



Obrázek 2.1

Strukturní vzorec 3-hydroxy-4-[2-sulfo-4-(4-sulfofenylazo)fenylazo]-2,7-naftalendisulfonátu sodného (Ponceau S)

2.5.1.2 Podmínky „červené“ nativní elektroforézy

Elektroforéza probíhala na deskách polyakrylamidového gelu o rozměrech 100 mm × 1000 mm × 0,75 mm (OWL, typ P8DS, USA) v chladové místnosti, při teplotě asi 4 °C a konstantním napětí 30 V, v rozmezí 15-20 hodin, v závislosti na použitém koncentračním gradientu.

Pro tuto elektroforézu jsem používala dělící gely s lineárními koncentračními gradienty akrylamidu 4–13 % a řadící gel s koncentrací 3 %. Na přípravu gelů slouží tzv. míšič gradientu, což jsou dvě válcové komůrky z průhledného plastu u dna spojené úzkou trubičkou uzavíratelnou kohoutkem. Jeden váleček je napojen na výstupní hadičku. V každé válcové nádobě bylo jedno míchadélko a míšič byl umístěn na zvedáčku s elektromagnetickou míchačkou.

Do válcové nádoby s výstupní hadičkou jsem pipetovala směs o vyšší koncentraci akrylamidu. Po otevření nádoby se obě směsi začaly vzájemně mísit. Tím došlo k vytvoření lineárního koncentračního gradientu akrylamidu. Po vytečení kapalin, jsem mezi skly kapalinu převrstvila malým množstvím redestilované vody. Po zpolymerování gelu jsem přebytečnou kapalinu odsála filtračním papírem a nalila na něj řadící gel. Následně jsem zasunula hřebeny, které vytvářejí v gelu jamky pro aplikaci vzorků.

Maloporový dělící gel byl v elektroforetické vaně ve styku s anodovým pufrem, řadící velkoporový s katodovým pufrem.

2.5.1.3 Příprava vzorků pro „červenou“ nativní elektroforézu

K 25 µl suspenze thylakoidních membrán (odpovídá 52 µg chlorofylu) jsem přidala 5 µl 10 % dodecylmalatosidu (m/V), 15 µl 10 % Ponceau S (m/V) a doplnila solubilizačním pufrem (viz tabulka 2.5.).

Připravené vzorky jsem nanesla do jamek.

2.5.1.4 Příprava standardů pro „červenou“ nativní elektroforézu

Jako standardy jsem používala apoferritin, hovězí sérumalbumin a katalasu. Proteiny jsem rozpustila v katodovém pufru (složení viz tabulka 2.5.) a nakonec zahustila malým množstvím sacharosy.

Pufr (název)	Složení
Gelový pufr, pH = 7	0,138 g 150 mM Bis-Tris; 0,1312 g 10 mM ε-amino-n-kapronová kyselina doplnit do 100 ml H ₂ O
AB směs	48 g akylamid; 1,5 g Bis doplnit do 100 ml redestilovanou H ₂ O
Katodový pufr, pH = 7	8,96 g 50 mM tricin; 3,13 g 15 mM Bis-Tris; 0,12 g 12 % Ponceau S doplnit do 1 l H ₂ O
Anodový pufr, pH = 7	10,46 g 50 mM Bis-Tris doplnit do 1 l H ₂ O
Solubilizační pufr, pH = 7	1,046 g 50 mM Bis-Tris; 9,84 g 700 mM ε-amino-n-kapronova; 20 % glycerol doplnit do 100 ml H ₂ O

Tabulka 2.5.

Složení zásobních roztoků (pufrů) používaných při „červené“ nativní elektroforéze.

Sloučenina	Objem (μl)	
Gelový pufr	4 %	13 %
	1000	1000
AB směs	240	795
Glycerol	-	476
10 % APS	16	10
TEMED	1,6	1
Redestilovaná H ₂ O	1742	718
Celkový objem	6000,0	

Tabulka 2.6.

Složení polymerační směsi pro přípravu 6 ml dělícího gelu o koncentraci akylamidu 4–13 %. (10 % APS jsem vždy připravovala čerstvý)

Sloučenina	Objem (μl)
Gelový pufr	1333
AB směs	250
Redestilovaná H ₂ O	2380
10 % APS	33,3
TEMED	3,3
Celkový objem	4000,0

Tabulka 2.7.

Složení polymerační směsi pro přípravu řadícího gelu o koncentraci akylamidu 3 %. (10 % APS jsem vždy připravovala čerstvý).

2.5.2 Detekce bílkovin, barvení a sušení gelů

Proteiny jsem detekovala pomocí Brilliant Blue R. Používala jsem jeho 0,2 % (m/V) roztok ve směsi 96 % ethanolu, koncentrované kyseliny octové a

destilované vody v objemových poměrech 25 : 10 : 65 s obsahem 1 % (m/V) kyseliny trichloroctové.

Barvicí lázeň jsem před prvním použitím přefiltrovala, abych se zbavila zbytků nerozpustěného barviva. Gely jsem barvila zhruba 20 hodin. Poobarvení jsem barvicí lázeň slila, gel jsem opláchl destilovanou vodou a ponořila do odbarvovací lázně o složení 96 % ethanol, koncentrovaná kyselina octová a destilovaná voda v objemových poměrech 25 : 10 : 65. Odbarvovací lázeň jsem několikrát vyměnila, pokud bylo pozadí polyakrylamidového gelu barevné. Když pozadí gelu bylo bezbarvé, ponořila jsem ho do fixační lázně o složení 10 % ethanol a 5 % glycerol v destilované vodě.

Gely jsem uchovávala ponořené ve fixační lázni, nebo jsem je sušila. Před vlastním sušením byl gel ponořen nejméně jednu hodinu ve fixační lázni.

Sušení gelu probíhalo mezi dvěma vrstvami mokrého celofánu, upevněného pomocí kolíčků mezi dva plastové rámečky, při laboratorní teplotě cca 24 hodin.

2.5.3 Stanovení relativní molekulové hmotnosti proteinů

Relativní molekulovou hmotnost polypeptidů a pigmentoproteinových komplexů jsem určila porovnáváním jejich elektroforetické pohyblivosti s mobilitou standardů o známé molekulové hmotnosti.

Pro určení molekulové hmotnosti polypeptidů v prostředí SDS jsem používala sadu proteinů od firmy Sigma o složení:

- myosin (Mr 205 000)
- fosforylaza b (Mr 97 000)
- hovězí sérumalbumin (Mr 66 000)
- ovalbumin (Mr 45 000)

Dále jsem používala polylysozym s molekulovou hmotností monomeru 14 300 a polyBSA s molekulovou hmotností monomeru 66 000.

Pro určení molekulové hmotnosti pigmentoproteinových komplexů pomocí „červené“ nativní elektroforézy jsem používala ferritin a katalasu od firmy Serva a hovězí sérum albumin od firmy Sevac:

- ferritin – monomer (Mr 450 000), dimer (Mr 900 000), trimer (Mr 1 350 000)
- hovězí sérumalbumin – monomer (Mr 66 000), dimer (Mr 132 000)
- katalasa – monomer (Mr 250 000), dimer (Mr 500 000)

Gely jsem digitalizovala pomocí skeneru. Molekulové hmotnosti jsem odečítala z kalibrační křivky vytvořené v programu SigmaPlot.

2.6 Spektroskopické metody

Metody jsou založené na interakci hmoty s elektromagnetickým zářením s různou vlnovou délkou. Sleduje se absorpcie záření při průchodu vzorkem. Spektrofotometrické stanovení koncentrace využívá princip Lambertova – Beerova zákona: $A = -\log T = I_0/I = \epsilon c_m l$, kde absorbance A a transmitance T jsou mírami absorpcie záření při průchodu vzorkem, ϵ je molární absorpční koeficient, c_m je molární koncentrace a l optická dráha paprsku vzorkem. Všechna měření jsem absolvovala s kyvetou s optickou dráhou 1 cm.

2.6.1 Stanovení koncentrace chlorofylu a

Stanovení koncentrace jsem prováděla metodou podle Ogawy a Vernona /38/.

5 μ l vzorku jsem napipetovala do 1,5 ml 100 % methanolu, směs jsem protřepala a odstředila na centrifuze MPW 300 5 minut při maximálních otáčkách. Pak jsem absorbanci změřila při 666 nm proti 100 % methanolu na spektrofotometru Spekol 11 (Carl Zeiss, Německo) a koncentraci chlorofylu jsem vypočítala podle vztahu:

$$C (\text{mg/l}) = 4,04 A_{666}$$

kde A_{666} je absorbance vzorku při 666 nm, relativní molekulová hmotnost chlorofylu a je 892 a jeho molární absorpcní koeficient ve 100 % methanolu při 666 nm je $65\ 800\ \text{dm}^3\ \text{mol}^{-1}\ \text{cm}^{-1}$.

2.7 Příprava tenzidového extraktu

Na přípravu tenzidového extraktu jsem použila n–dodecyl– β D–maltosid od firmy Sigma (USA). Tenzid byl přidán k suspenzi thylakoidních membrán o koncentraci 1,12 mg/ml v takovém množství, aby jeho výsledná koncentrace byla 1 % (m/V) /39/.

Vzorek jsem inkubovala s tenzidem 30 minut při laboratorní teplotě, ve tmě, za stálého míchaní. Po skončení inkubace jsem vzorek odstředila na centrifuze Beckman L7 – 65 (USA) s rotorem SW 60 při 4 °C a při 50 000 ot/min ($350\ 000\times g$, $r_{max}=12\ \text{cm}$) po dobu 60 minut.

2.8 Měření fotochemických aktivit

Pro stanovení fotochemické aktivity PS II jsem používala měření fotoredukce nefyziologického akceptoru elektronů 2,6–dichlorfenolindofenolu (DCPIP).

2.8.1 Měření fotochemických aktivit fotoredukcí DCPIP

Aktivita fotolýzy vody se v tomto případě měří jako počáteční rychlosť, s jakou se redukuje 2,6–dichlorfenolindofenol při osvětlení vzorku. Reakční směs obsahovala takové množství měřeného vzorku, které odpovídalo 20 µg chlorofylu, dále roztok DCPIP (zásobní roztok: 20 mg DCPIP v 10 ml vody) o výsledné koncentraci 30 µM a RMh (složení udává tabulka 2.11.) v takovém množství, aby výsledný objem byl 2 ml.

Měření jsem prováděla na spektrofotometru Spekol 11 (Carl Zeiss Jena, Německo) při 600 nm proti slepému vzorku, který neobsahoval DCPIP. Měrnou kyvetu se vzorkem jsem osvětlovala zářením z diaprojektoru (Malicolor, Německo) ze vzdálenosti 3 cm v intervalech 0, 10, 20, 30, 60, 90 a 120 vteřin. Po každém časovém intervalu jsem změřila absorbanci.

Z grafu (výstup z programu SigmaPlot) závislosti změn absorbance na čase jsem určila počáteční rychlosť fotoredukce DCPIP v μmol redukovaného DCPIP / mg chl. hod. Molární absorpcní koeficient pro DCPIP má hodnotu $2,4 \text{ dm}^3 \text{ mol}^{-1} \text{ cm}^{-1}$.

Průměrná chyba byla vypočtena podle vztahu:

$$a = \sum_{i=1}^n \frac{|x_i - \bar{x}|}{n} \cdot \frac{100}{\bar{x}},$$

kde n je počet měření, i je pořadí měření, x_i je naměřená hodnota v daném pořadí a \bar{x} je průměrná hodnota všech naměřených hodnot.

Sloučenina	Koncentrace (mmol/l)
KCl	10
HEPES	40

Tabulka 2.8.

Složení reakčního media (RMh) používaného při stanovení fotoredukce DCPIP. pH = 6,5.

2.8.2 Měření fotochemických aktivit fotoredukcí DCPIP za přítomnosti DPC

Aktivita se měří jako počáteční rychlosť s jakou je redukován 2,6-dichlorfenolindofenol při osvětlení vzorku za přítomnosti umělého donoru elektronů difenylkarbazidu (DPC).

Reakční směs obsahovala takové množství měřeného vzorku, které odpovídá $20 \mu\text{g}$ chlorofylu, roztok DCPIP (zásobní roztok: $20 \mu\text{g}$ DCPIP / 10 ml vody) o výsledné koncentraci $30 \mu\text{M}$, roztok DPC (zásobní roztok : 18 mg DPC / 1,5 ml 100 % methanol) v konečné koncentraci $0,3 \text{ mM}$ a roztok RMh (složení udává tabulka 2.11.) v takovém množství, aby výsledný objem byl 2 ml.

Měření aktivity jsem prováděla stejným způsobem popsaným v kapitole 2.8.1.

Slepý vzorek obsahoval DPC o výsledné koncentraci 0,3 mM. Protože DCPIP a DPC spolu chemicky reagují, musela jsem tuto skutečnost zohlednit při výpočtu hodnoty redukovaného DCPIP. Do jaké míry tyto dvě sloučeniny spolu reagují, jsem měřila popsaným způsobem, kdy reakční směs ani slepý vzorek neobsahovaly chlorofyl. Roztok DPC jsem připravovala denně čerstvý.

2.9 Inkubace thylakoidních membrán sinic s kademnatými ionty

Příprava vzorků pro inkubaci s kademnatými ionty (viz tabulka 2.9.): použité thylakoidní membrány měly koncentraci chlorofylu v rozmezí 1,12 – 1,5 mg/ml.

Konečná koncentrace CdCl ₂ ve vzorku (mmol/l)	Množství thylakoidních membrán (μl)	Množství zásobního roztoku CdCl ₂ (μl)	Koncentrace zásobního roztoku CdCl ₂ (mmol/l)
0	1000	0	250
2	992	8	250
4	984	16	250
5	2952	60	250
6	976	24	250
7	2916	84	250
8	968	32	250
10	960	40	250
50	800	200	250
60	760	240	250
70	720	280	250
75	700	300	250
80	680	320	250
100	600	400	250
150	400	600	250
200	200	800	250
800	840	160	5000

Tabulka 2.9.

Příprava vzorků thylakoidních membrán pro inkubaci s ionty kadmia.

Takto připravené vzorky jsem inkubovala 30 minut ve tmě při teplotě 4 °C. Další zpracování spočívalo v odstředění na centrifuze MPW–360 (4000 × g, 10 min., 4 °C), slití supernatantu obsahujícího přebytečné kademnaté ionty a promytí 10násobným objemem roztoku MHM (složení viz tabulka 2.3.). Nakonec jsem sedimenty resuspendovala v takovém objemu roztoku MHM,

který odpovídal objemu vzorku na počátku inkubace (objem thylakoidních membrán plus objem roztoku kadmia) inkubace roztokem. Vzorky jsem uchovávala v hlubokomrazícím boxu, zmražené tekutým dusíkem při teplotě - 78 °C.

3 Výsledky

3.1 Fotochemické aktivity

Do jaké míry byly thylakoidní membrány sinic poškozené toxickým působením kademnatých iontů jsem sledovala popsanými metodami.

Pro zjednodušení budu dále v této práci nazývat kontrolní thylakoidní membrány sinic vzorkem Cd₀ a thylakoidní membrány vystavené vlivu CdCl₂ v konečné koncentraci 2, 4, 5, 6, 7, 8, 10, 50, 60, 70, 75, 80, 100, 150, 200 a 800 mM vzorkem Cd₂, Cd₄, Cd₅, Cd₆, Cd₇, Cd₈, Cd₁₀, Cd₅₀, Cd₆₀, Cd₇₀, Cd₇₅, Cd₈₀, Cd₁₀₀, Cd₁₅₀, Cd₂₀₀ a Cd₈₀₀. Dodecylmaltosidový extrakt bude mít symbol DM.

Pokusy byly opakovány 3-4 krát a výsledky uvádím v tabulkách 3.1-3.17.

3.1.1 Fotochemické aktivity kontrolních vzorků thylakoidních membrán sinic bez inkubace s kademnatými ionty

Fotochemické aktivity neinkubovaných vzorků jsem měřila postupem popsaným v kap. 2.8. Reakčním médiem byl hypotonický roztok RMh (složení udává tab. 2.8).

Pak jsem procentuálně porovnávala hodnoty aktivit v přítomnosti umělého donoru elektronů DPC oproti vzorkům, kde donorem elektronů byla voda. Symboly viz Seznam zkratek a kap. 3.1.

Vzorek	Fotoredukce DCPIP[H ₂ O→DCPIP] (μmolDCPIP _{red} /mg _{chl} .hod)	Fotoredukce DCPIP[DPC→DCPIP] (μmolDCPIP _{red} /mg _{chl} .hod)
Cd ₀	60,57±0,32	67,01±0,85
Cd ₀	61,42±0,48	68,22±1,04
Cd ₀	60,03±0,94	66,91±1,91

Tabulka 3.1.

Hodnoty fotochemických aktivit thylakoidních membrán sinic. Symboly viz Seznam zkratek a kap. 3.1.
Aritmetický průměr ± směrodatná odchylka (n=3).

Vzorek	Fotoredukce DCPIP[H ₂ O→DCPIP] (%)	Fotoredukce DCPIP[DPC→DCPIP] (%)	Změna aktivity (%)
Cd ₀	100,00±0,53	110,63±1,26	10,63
Cd ₀	100,00±0,78	111,07±1,52	11,07
Cd ₀	100,00±1,56	111,46±2,85	11,46

Tabulka 3.2.

Hodnoty fotochemických aktivit thylakoidních membrán sinic (viz tab. 3.1.) vyjádřené v procentech.
Poslední sloupec udává změnu aktivity v přítomnosti umělého donoru elektronů DPC. Symboly viz Seznam zkratek a kap. 3.1.

U všech vzorků jsem pozorovala narůstající fotochemickou aktivitu v přítomnosti nefyziologického donoru elektronů DPC.

3.1.2 Fotochemické aktivity vzorků dodecylmaltosidového extraktu bez inkubace s Cd²⁺ ionty.

Fotochemické aktivity neinkubovaných vzorků jsem měřila postupem popsaným v kap. 2.8. Reakčním médiem byl hypotonický roztok RMh (složení udává tab. 2.8.) a dodecylmaltosidový extrakt jsem připravila způsobem popsaným v kapitole 2.7.

Pak jsem procentuálně porovnávala hodnoty aktivit v přítomnosti umělého donoru elektronů DPC oproti vzorkům, kde donorem elektronů byla voda. Symboly viz Seznam zkratek a kap. 3.1.

Vzorek	Fotoredukce DCPIP[H ₂ O→DCPIP] (μmol DCPIP _{red} /mg _{chl} .hod)	Fotoredukce DCPIP[DPC→DCPIP] (μmol DCPIP _{red} /mg _{chl} .hod)
DM	26,38±0,55	45,31±1,17
DM	24,14±0,69	47,17±2,36
DM	26,19±0,33	45,66±1,28

Tabulka 3.3.

Hodnoty fotochemických aktivit dodecylmaltosidového extraktu sinic. Symboly viz Seznam zkratek a kap. 3.1. Aritmetický průměr ± směrodatná odchylka (n=3).

Vzorek	Fotoredukce DCPIP[H ₂ O→DCPIP] (%)	Fotoredukce DCPIP[DPC→DCPIP] (%)	Změna aktivity (%)
DM	100,00±2,08	171±2,58	71,15
DM	100,00±2,86	195,40±5,03	95,40
DM	100,00±1,26	174,34±2,80	74,34

Tabulka 3.4.

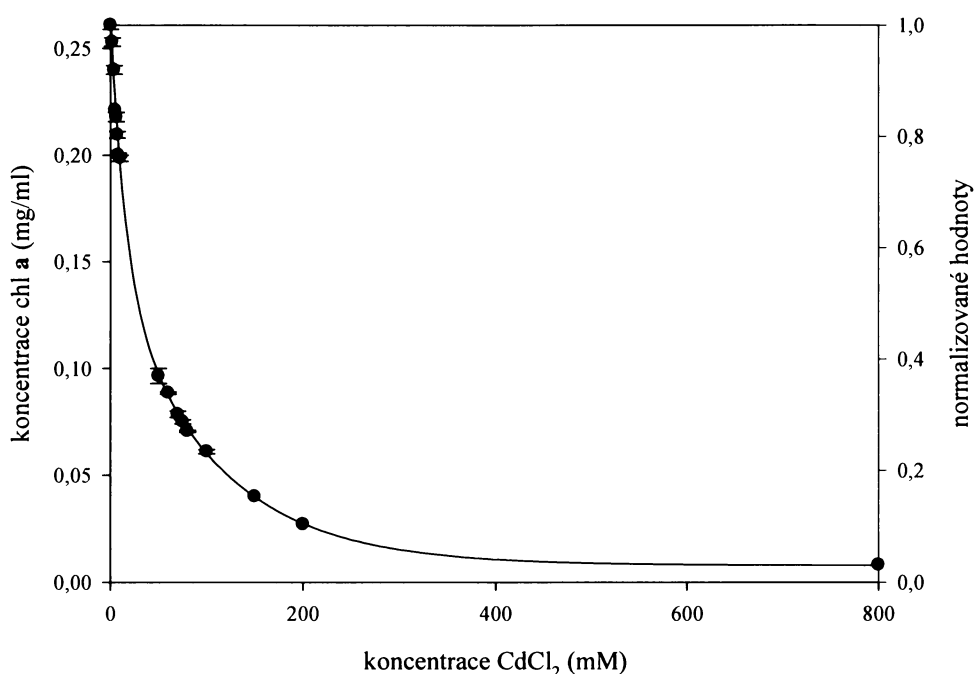
Hodnoty fotochemických aktivit dodecylmaltozidového extraktu sinic (viz tab. 3.3) vyjádřené v procentech. Poslední sloupec udává změnu aktivity v přítomnosti umělého donoru elektronů DPC. Symboly viz Seznam zkratek a kap. 3.1.

U všech vzorků jsem pozorovala narůstající fotochemickou aktivitu v přítomnosti nefyziologického donoru elektronů DPC.

3.1.3 Měření fotochemické aktivity thylakoidních membrán sinic po 30minutové inkubaci s Cd²⁺ ionty.

Způsob jakým jsem měřila fotochemické aktivity popisuje kap. 2.8. Hodnoty naměřených aktivit udávají tabulky 3.5 – 3.11. jednotky aktivit jsou vztaženy na mg chlorofylu a stejného množství thylakoidních membrán sinic před 30 minutovou inkubací s kademnatými ionty.

Závislost koncentrace chlorofylu **a** na koncentraci CdCl_2



Graf 3.1.

Závislost koncentrace chlorofylu **a** na koncentraci CdCl_2 . Osa y_1 zleva udává přeypočtené koncentrace chlorofylů **a** pod vlivem iontů kadmia, osa y_2 následnou normalizaci koncentrací chlorofylu **a**, kde kontrola s koncentrací kademnatých iontů 0 mM je brána jako hodnota výchozí. Osa x představuje koncentraci CdCl_2 .

Vzorek	Konzentrace chl a (mg/ml)	Normalizované hodnoty
Cd ₀	0,270	1
Cd ₂	0,250	0,93
Cd ₄	0,232	0,86
Cd ₅	0,225	0,83
Cd ₆	0,218	0,81
Cd ₇	0,212	0,79
Cd ₈	0,210	0,78
Cd ₁₀	0,195	0,72
Cd ₅₀	0,098	0,36
Cd ₆₀	0,088	0,32
Cd ₇₀	0,079	0,29
Cd ₇₅	0,076	0,28
Cd ₈₀	0,072	0,27
Cd ₁₀₀	0,060	0,22
Cd ₁₅₀	0,040	0,15
Cd ₂₀₀	0,027	0,10
Cd ₈₀₀	0,008	0,003

Tabulka3.5.

Konzentrace chlorofylu **a** a jeho normované hodnoty

Vzorek	Fotoredukce DCPIP[H ₂ O→DCPIP] (μmolDCPIP _{red} /mg _{chl} .hod)	Fotoredukce DCPIP[DPC→DCPIP] (μmolDCPIP _{red} /mg _{chl} .hod)
Cd ₀	15,24±0,92	22,03±0,92
Cd ₁₀	16,40±0,76	18,16±0,91
Cd ₈₀	5,08±0,25	6,61±0,11
Cd ₈₀₀	0,28±0,01	0,41±0,01

Tabulka 3.6.

Hodnoty fotochemických aktivit thylakoidních membrán sinic Symboly viz Seznam zkrátek a kap. 3.1.
Aritmetický průměr ± směrodatná odchylka (n=4).

Vzorek	Fotoredukce DCPIP[H ₂ O→DCPIP] (%)	Změna aktivity (%)	Fotoredukce DCPIP[DPC→DCPIP] (%)	Změna aktivity (%)
Cd ₀	100,00±6,04	0,00	100,00±4,17	0,00
Cd ₁₀	105,52±3,32	5,52	80,83±3,59	-19,17
Cd ₈₀	33,08±1,34	-66,92	29,77±0,46	-70,23
Cd ₈₀₀	1,84±0,14	-98,16	1,90±0,08	-98,10

Tabulka 3.7.

Hodnoty fotochemických aktivit thylakoidních membrán sinic (viz tab. 3.6.) vyjádřené v procentech. Poslední sloupec udávají změnu aktivit porovnávanou s kontrolou Cd₀ jak u fotoredukce s donorem elektronů vodou, tak i v přítomnosti nefyziologického donoru elektronů DPC.

U fotoredukce [H₂O→DCPIP], byl patrný stimulační efekt iontů kadmia naměřených u vzorku Cd₁₀. Vzorky Cd₈₀ a Cd₈₀₀ již vykazují inhibiční efekt působením kademnatých iontů a pokles aktivity.

U fotoredukce [DPC→DCPIP], všechny vzorky vykazuj pokles fotochemických aktivit.

Vzorek	Fotoredukce DCPIP[H ₂ O→DCPIP] (μmolDCPIP _{red} /mg _{chl} .hod)	Fotoredukce DCPIP[DPC→DCPIP] (μmolDCPIP _{red} /mg _{chl} .hod)
Cd ₀	19,40±0,52	36,22±20,79
Cd ₂	26,42±0,99	41,26±0,38
Cd ₄	32,72±0,79	37,45±0,35
Cd ₆	24,27±1,50	30,12±0,98
Cd ₈	18,36±0,32	25,23±0,89
Cd ₁₀	20,12±0,94	28,26±0,28

Tabulka 3.8.

Hodnoty fotochemických aktivit thylakoidních membrán sinic Symboly viz Seznam zkrátek a kap. 3.1. Aritmetický průměr ± směrodatná odchylka (n=8).

Vzorek	Fotoredukce DCPIP[H ₂ O→DCPIP] (%)	Změna aktivity (%)	Fotoredukce DCPIP[DPC→DCPIP] (%)	Změna aktivity (%)
Cd ₀	100,00±1,77	0,00	100,00±2,18	0,00
Cd ₂	68,46±3,56	-31,54	120,93±3,32	20,93
Cd ₄	105,33±3,44	5,33	120,70±0,95	20,70
Cd ₆	82,71±5,01	-17,29	102,36±1,24	2,36
Cd ₈	45,57±1,34	-54,43	96,71±0,75	-3,29
Cd ₁₀	56,42±2,70	-43,58	87,91±0,32	-12,39

Tabulka 3.9.

Hodnoty fotochemických aktivit thylakoidních membrán sinic (viz tab. 3.8.) vyjádřené v procentech Poslední sloupce udávají změnu aktivit porovnávanou s kontrolou Cd₀ jak u fotoredukce s donorem elektronů vodou, tak i v přítomnosti nefyziologického donoru elektronů DPC.

Vzorek	Fotoredukce	
	DCPIP[H ₂ O→DCPIP] (μmol DCPIP _{red} /mg _{chl} .hod)	DCPIP[DPC→DCPIP] (μmol DCPIP _{red} /mg _{chl} .hod)
Cd ₀	19,13±0,28	9,02±0,23
Cd ₄	17,08±0,54	8,87±0,25
Cd ₅	17,10±0,12	9,54±0,26
Cd ₆	20,44±0,36	16,34±0,82
Cd ₇	20,22±0,31	10,91±0,13

Tabulka 3.10.

Hodnoty fotochemických aktivit thylakoidních membrán sinic. Symboly viz Seznam zkratek a kap. 3.1.
Aritmetický průměr ± směrodatná odchylka (n=4).

Vzorek	Fotoredukce DCPIP[H ₂ O→DCPIP] (%)	Změna aktivity (%)	Fotoredukce DCPIP[DPC→DCPIP] (%)	Změna aktivity (%)
Cd ₀	100,00±1,46	0,00	100,00±2,01	0,00
Cd ₄	87,78±2,88	-12,22	96,56±2,32	-3,44
Cd ₅	84,60±0,56	-15,33	103,38±2,43	3,38
Cd ₆	104,86±1,42	4,86	178,19±2,18	78,19
Cd ₇	132,24±1,21	4,46	119,46±0,88	19,46

Tabulka 3.11.

Hodnoty fotochemických aktivit thylakoidních membrán sinic (viz tab. 3.10.) vyjádřené v procentech
Poslední sloupce udávají změnu aktivit porovnávanou s kontrolou Cd₀, jak u fotoredukce s donorem
elektronů vodou, tak i v přítomnosti nefyziologického donoru elektronů DPC.

U fotoredukce $[H_2O \rightarrow DCPIP]$ byl vidět nárůst fotochemických aktivit u vzorků v koncentračním rozmezí kademnatých iontů Cd_6 a Cd_7 , podobně tak tomu bylo i u fotoredukce $[DPC \rightarrow DCPIP]$.

Porovnáním obou typů fotoredukcí, prokazuje typ fotoredukce $[DPC \rightarrow DCPIP]$ vyšší nárůst fotochemických aktivit vlivem toxických vlastností kademnatých iontů u vzorku Cd_6 .

3.1.4 Časová závislost

Fotochemické aktivity kontroly Cd_0 a vzorku Cd_6 jsem měřila postupem popsaným v kap.2.8. Po rozmrazení vzorků jsem jednotlivé měření fotochemických aktivit u každého vzorku prováděla v čase 0 až 50 min. Reakčním médiem byl hypotonický roztok RMh (složení udává tab. 2.8.). Procentuální vyjádření je založeno na porovnávání aktivit kontroly Cd_0 s aktivitami vzorku Cd_6 , jak u fotoredukce $[H_2O \rightarrow DCPIP]$, tak i u fotoredukce s nefyziologickým donorem elektronů DPC.

	Vzorek Cd_0	Vzorek Cd_6	
t/min	Fotoredukce $DCPIP[H_2O \rightarrow DCPIP]$ (%)	Fotoredukce $DCPIP[H_2O \rightarrow DCPIP]$ (%)	Změna aktivity (%)
0	100,00±12,39	191,97±0,18	91,97
10	100,00±6,42	93,15±0,96	-6,85
20	100,00±5,14	200,20±0,07	100,20
30	100,00±4,89	206,33±5,67	106,33
50	100,00±7,23	186,45±0,15	86,45

Tabulka 3.12.

Hodnoty fotochemických aktivit thylakoidních membrán sinic vyjádřené v procentech. Poslední sloupec udává změnu aktivit v procentech porovnáním aktivit kontroly Cd_0 se vzorkem Cd_6 (donorem elektronů je voda).

	Vzorek Cd ₀	Vzorek Cd ₆	
t/min	Fotoredukce DCPIP[DPC→DCPIP] (%)	Fotoredukce DCPIP[DPC→DCPIP] (%)	Změna aktivity (%)
0	100,00±19,79	293,22±1,18	193,22
10	100,00±14,93	171,03±0,87	71,03
20	100,00±17,33	367,65±3,66	267,65
30	100,00±2,47	306,23±0,78	206,23
50	100,00±4,42	261,13±1,58	161,13

Tabulka 3.13.

Hodnoty fotochemických aktivit thylakoidních membrán sinic vyjádřené v procentech. Poslední sloupec udává změnu aktivit v procentech porovnáním aktivit kontroly Cd₀ se vzorkem Cd₆ (donorem byl DPC).

Z naměřených aktivit je zřejmé u obou případů fotoredukce, že čas nemá vliv na fotochemické aktivity thylakoidních membrán sinic. Kademnaté ionty u vzorku Cd₆ vykazovaly silně stimulační efekt jak v případe donoru elektronů vody, tak i v přítomnosti nefyziologického donoru elektronů DPC.

3.1.5 Fotochemické aktivity vzorků thylakoidních membrán sinic po 30ti minutové inkubaci s iontama kadmia v koncentraci 0 až 200 mM.

Způsob jakým jsem měřil fotochemické aktivity je pospán v kap.2.8. Použitým reakčním médiem byl hypotonický roztok RMh (složení udává tab. 2.8.).

Hodnoty naměřených aktivit udávají tabulky 3.14 až 3.17.

Vzorek	Fotoredukce DCPIP[H ₂ O→DCPIP] (μmol DCPIP _{red} /mg _{chl} .hod)	Fotoredukce DCPIP[DPC→DCPIP] (μmol DCPIP _{red} /mg _{chl} .hod)
Cd ₀	6,71±0,56	5,11±0,38
Cd ₁₀	4,38±0,01	4,71±0,07
Cd ₅₀	4,33±0,22	5,59±0,10
Cd ₇₅	2,25±0,14	4,42±0,04
Cd ₁₀₀	1,76±0,15	1,76±0,08
Cd ₁₅₀	1,19±0,18	0,31±0,02
Cd ₂₀₀	0,53±0,09	0,18±0,01

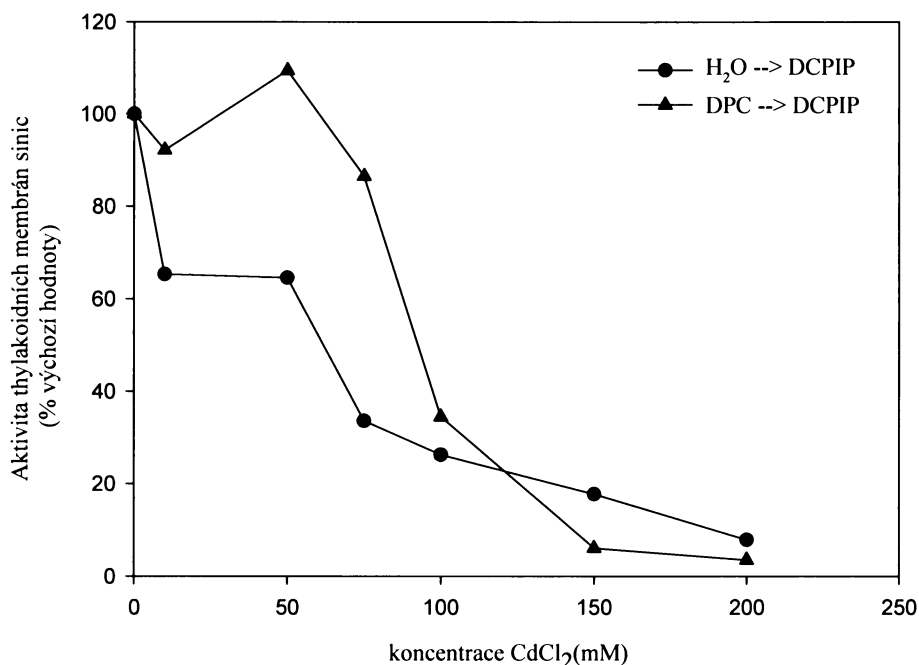
Tabulka 3.14.

Hodnoty fotochemických aktivit thylakoidních membrán sinic. Symboly viz Seznam zkrátek a kap. 3.1. Aritmetický průměr ± směrodatná odchylka (n=3).

Vzorek	Fotoredukce DCPIP[H ₂ O→DCPIP] (%)	Změna aktivity (%)	Fotoredukce DCPIP[DPC→DCPIP] (%)	Změna aktivity (%)
Cd ₀	100,00±8,34	0,00	100,00±1,53	0,00
Cd ₁₀	63,99±0,16	-36,01	90,20±1,30	-9,8
Cd ₅₀	63,25±1,91	-36,75	107,17±0,36	7,17
Cd ₇₅	32,91±2,42	-67,09	85,07±1,47	-14,93
Cd ₁₀₀	24,49±1,91	-75,51	33,37±1,59	-66,63
Cd ₁₅₀	17,68±2,31	-82,32	6,03±0,98	-93,97
Cd ₂₀₀	7,59±1,67	-92,41	3,43±1,3	-96,57

Tabulka 3.15.

Hodnoty fotochemických aktivit thylakoidních membrán sinic (viz tab.3.14.) v procentech. Poslední sloupec udává změnu aktivity vzorků porovnávanou s kontrolou, jak u fotoredukce s donorem elektronů vodou, tak i v přítomnosti nefyziologického donoru elektronů DPC.



Graf 3.2.

Závislost aktivity fotoredukce $\text{H}_2\text{O} \rightarrow \text{DCPIP}$ a $\text{DPC} \rightarrow \text{DCPIP}$ na koncentraci CdCl_2

Vzorek	Fotoredukce $\text{DCPIP}[\text{H}_2\text{O} \rightarrow \text{DCPIP}]$ ($\mu\text{mol DCPIP}_{\text{red}}/\text{mg}_{\text{chl}} \cdot \text{hod}$)	Fotoredukce $\text{DCPIP}[\text{DPC} \rightarrow \text{DCPIP}]$ ($\mu\text{mol DCPIP}_{\text{red}}/\text{mg}_{\text{chl}} \cdot \text{hod}$)
Cd_0	$4,81 \pm 0,56$	$4,62 \pm 0,08$
Cd_{50}	$2,61 \pm 0,19$	$2,82 \pm 0,06$
Cd_{60}	$1,19 \pm 0,25$	$1,17 \pm 0,09$
Cd_{70}	$0,96 \pm 0,08$	$2,44 \pm 0,30$
Cd_{75}	$2,08 \pm 0,04$	$2,61 \pm 0,08$
Cd_{80}	$0,57 \pm 0,04$	$0,54 \pm 0,14$

Tabulka 3.16.

Hodnoty fotochemických aktivit thylakoidních membrán sinic. Symboly viz Seznam zkrátek a kap. 3.1.
Aritmetický průměr \pm směrodatná odchylka ($n=3$).

Vzorek	Fotoredukce DCPIP[H ₂ O→DCPIP] (%)	Změna aktivity (%)	Fotoredukce DCPIP[DPC→DCPIP] (%)	Změna aktivity (%)
Cd ₀	100,00±11,59	0,00	100,00±1,72	0,00
Cd ₅₀	52,92±2,55	-47,01	59,76±1,01	-40,24
Cd ₆₀	21,36±0,45	-76,64	56,49±2,43	-43,51
Cd ₇₀	44,02±2,33	-55,98	51,62±3,60	-48,38
Cd ₇₅	12,25±0,60	-87,75	12,06±0,87	-87,94
Cd ₈₀	20,21±1,83	-79,79	20,78±3,16	-79,22

Tabulka 3.17.

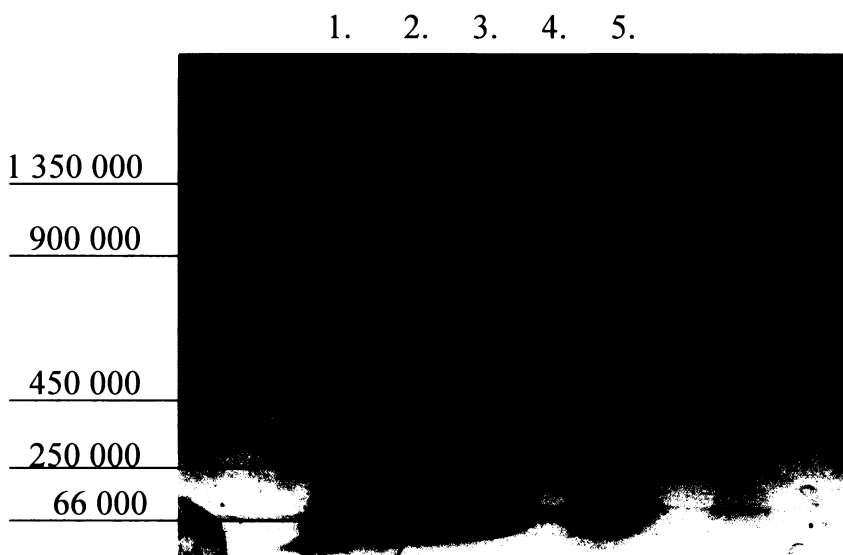
Hodnoty fotochemických aktivit thylakoidních membrán sinic (viz tab.3.16.) v procentech. Poslední sloupec udává změnu aktivity vzorků porovnávanou s kontrolou, jak u fotoredukce s donorem elektronů vodou, tak i v přítomnosti nefyziologického donoru elektronů DPC.

Z naměřených hodnot fotochemických aktivit thylakoidních membrán sinic plyne, že koncentrace kademnatých iontů v hodnotách 50 až 200mM nevykazuje stimulační efekt na thylakoidní membrány jak u fotoredukce s donorem elektronů vodou, tak i v přítomnosti nefyziologického donoru elektronů – DPC. Dá se však říci, že inhibiční efekt u fotoredukce s umělým donorem elektronů DPC (DPC→DCPIP) je o několik procent mírnější, než u fotoredukce H₂O→DCPIP.

3.2 Elektroforetická analýza

3.2.1 „Červená“ nativní elektroforéza sedimentu thylakoidních membrán sinic v hustotním gradientu sacharózy

Vzorky thylakoidních membrán sinic jsem připravila postupem popsaným v kap.2.4.2. a podrobila centrifugaci v šestnáctistupňovém hustotním gradientu sacharosy (viz kap.2.4.3.). Během centrifugace se pigmentoproteinové komplexy thylakoidních membrán sinic (pro zjednodušení je budu označovat symbolem TMs) rozdělili do dvou zelených zón a sedimentu. Sediment (pro zjednodušení jej budu dále označovat symbolem Sd) jsem následně analyzovala pomocí „červené“ nativní elektroforézy.(viz kap.2.5.1.)



Obrázek 3.1.

Elektroforetické dělení Sd na 4 – 13 % gradientu akrylamidu poobarvení. Dráhy: 1-ferritin, 2-Sd, 3-Sd, 4-katalasa, 5-BSA

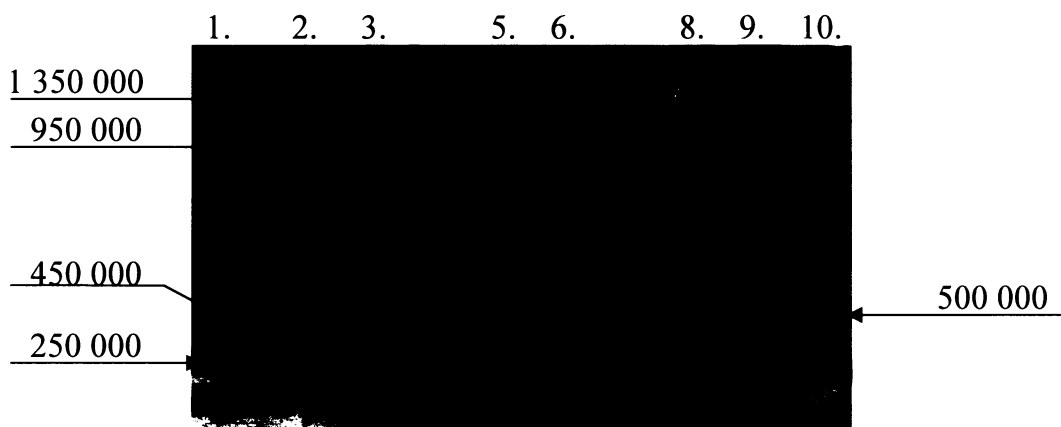
Vzorek	Relativní molekulová hmotnost (kDa)
Sd	64
Sd	70
Sd	112
Sd	179
Sd	260
Sd	399
Sd	440
Sd	562
Sd	630
Sd	820
Sd	910

Tabulka 3.18.

Relativní molekulové hmotnosti pigmentoproteinových komplexů sedimentu (Sd) po centrifugaci v hustotním gradientu sacharosy.

3.2.2 „Červená“ nativní elektroforéza thylakoidních membrán sinic a thylakoidních membrán špenátu.

Pomocí „červené“ nativní elektroforézy (viz kap. 2.5.1.) jsem analyzovala pigmentoproteinové složení thylakoidních membrán sinic (TMs) a thylakoidních membrán špenátu. (pro zjednodušení budu označovat thylakoidní membrány špenátu symbolem TMš).



Obrázek 3.2.

Elektroforetické dělení pigmentoproteinových komplexů thylakoidních membrán sinic TMs a thylakoidních membrán špenátu TMš. Dráhy: 1-katalasa, 2-ferritin, 3-TMš, 5-TMs, 6-TMs, 8-TMš, 9-ferritin, 10-BSA.

Relativní Molekulová Hmotnost (kDa)	TMš	TMs
260	280	
480	590	
590	610	
740	740	
830	853	
	980	
1150	1 150	
	1 290	

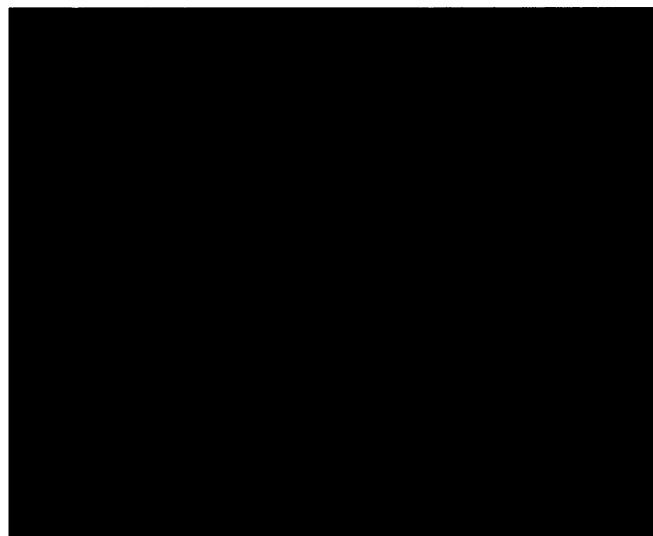
Tabulka 3.19.

Relativní molekulové hmotnosti thylakoidních membrán sinic (TMs) a špenátu (TMš) separované „červenou“ nativní elektroforézou.

3.2.3 „Červená“ nativní elektroforéza thylakoidních membrán sinic v přítomnosti různé koncentrace chloridu kademnatého.

Pomocí „červené“ nativní elektroforézy (kap.2.5.1.) jsem analyzovala pigmentoproteinové složení thylakoidních membrán sinic (TMs)

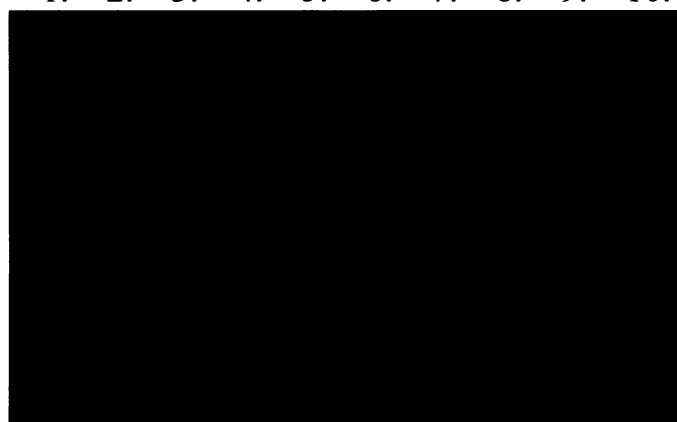
1. 2. 3. 4. 5. 6. 7. 8. 9. 10.



Obrázek 3.3a.

Elektroforetické dělení pigmentoproteinových komplexů thylakoidních membrán sinic (TMs) po 30ti minutové inkubaci s ionty kadmia předobarvením. Dráhy: 1-ferritin, 2-katalasa, 3-BSA, 4-Cd₆, 5-Cd₁₀, 6-Cd₈₀, 7-Cd₈₀₀, 8-BSA, 9-katalasa, 10-ferritin

1. 2. 3. 4. 5. 6. 7. 8. 9. 10.



Obrázek 3.3b.

Elektroforetické dělení pigmentproteinových komplexů thylakoidních membrán sinic (TMs) po 30ti minutové inkubaci s ionty kadmia a DM extraktu předobarvením. Dráhy: 1-DM, 2-Cd₆, 3-Cd₁₀, 4-Cd₈₀, 5-Cd₈₀₀, 6-Cd₈₀₀, 7-Cd₈₀, 8-Cd₁₀, 9-Cd₆, 10-DM

1. 2. 3. 4. 5. 6. 7. 8. 9. 10.



Obrázek 3.4.

Elektroforetické dělení pigmentproteinových komplexů thylakoidních membrán sinic (TMs) vystavených 30ti minutové inkubaci s iontama kadmia o koncentraci CdCl₂ (6, 10, 80 a 800 mM) poobarvení. Dráhy: 1-ferritin, 2-katalasa, 3-BSA, 4-Cd₆, 5-Cd₁₀, 6-Cd₈₀, 7-Cd₈₀₀, 8-BSA, 9-katalasa, 10-ferritin.

	Vzorek			
	Cd ₆	Cd ₁₀	Cd ₈₀	Cd ₈₀₀
Relativní molekulová hmotnost (kDa)	71	70	70	70
	73	72	72	72
	280	280	280	280
	398	398	398	398
	460	460	460	460
	562	561	561	561
	891	891		
	1 150	1 150		

Tabulka 3.20.

Relativní molekulové hmotnosti pigmentproteinových komplexů TMs vystavených 30ti minutové inkubaci s iontama kadmia o různé koncentraci CdCl₂.

4 Diskuse

Tato diplomová práce se zabývá vlivem kademnatých iontů na fotosyntetický aparát sinice *Synechococcus elongatus* jako zástupce prokaryotických organizmů.

V posledních letech se problematice toxických kovů věnuje velká pozornost. Někteří autoři, např. /45, 46, 47, 48/, se zabývali studiem vlivu kademnatých iontů jako stressoru na intaktní rostlinné organizmy. Další skupinu autorů tvoří ti, kteří se věnují toxickému působení iontů kadmia na organismus řas: /49, 50, 51/. V odborné literatuře lze najít i práce, ve kterých se sleduje vliv kademnatých iontů na sinice: /52, 53/.

Naše práce zabývající se vlivem kademnatých iontů na thylakoidní membrány sinic *Synechococcus elongatus* tedy přispívá k výše uvedeným pracím.

Fotosyntetické preparáty jsem analyzovala pomocí metod postihujících vliv kademnatých iontů na fotochemické aktivity a na pigmentoproteinové komplexy těchto preparátů.

Nejdříve jsem thylakoidní membrány sinic izolované z buněk, které rostly za standardních podmínek charakterizovala pomocí fotochemické aktivity fotosystému II za přítomnosti umělého akceptoru elektronů 2,6-dichlorfenolindofenolu (DCPIP) a také za přítomnosti umělého donoru elektronů 1,5-difenylkarbazidu (DPC) bez inkubace s kademnatými ionty.

Zde byl pozorován nárůst fotochemické aktivity porovnáváním obou fotoredukcí právě u fotoredukce DPC→DCPIP (t.j. v přítomnosti umělého donoru elektronů 1,5-difenylkarbazidu) zhruba o 10 % původní hodnoty. (původní hodnoty představovaly fotochemické aktivity redukce $H_2O \rightarrow DCPIP$) OEC komplex se zachoval téměř nepoškozený.

Totéž stanovení jsem prováděla na extraktu připraveném pomocí neiontového tenzidu n-dodecyl- β ,D-maltosidu (dodecylmaltosid), který slouží pro extrakci supramolekulárních komplexů. Porovnávala jsem fotochemické aktivity

fotoredukce $H_2O \rightarrow DCPIP$ a $DPC \rightarrow DCPIP$. Aktivita narostla průměrně o 80 % původní hodnoty u fotoredukce v přítomnosti DPC (původní hodnoty opět představovaly fotochemické aktivity fotoredukce $H_2O \rightarrow DCPIP$). OEC komplex byl tedy poškozen více, než v thylakoidních membránách v prvním případě (ve skutečnosti ale méně, než z poloviny).

Dále jsem inkubovala s kademnatými ionty thylakoidní membrány sinic izolované z buněk, které rostly za standardních podmínek. Stejnými metodami jako v předchozí části jsem studovala efekt kademnatých iontů na fotochemické aktivity a pigmentoproteinové komplexy těchto membrán.

Podobně jako výsledky diplomové práce Evy Tůmové /40/, i moje výsledky poukazovaly na to, že i přesto, že kadmium je považováno za jeden z hlavních toxických těžkých kovů, působil v nízkých koncentracích (t. j. koncentrace 2, 4, 5, 6 a 7 mM) mírně stimulačně na fotochemické aktivity fotosystému II. Nárůst oproti kontrole (bez kademnatých iontů) byl 10-20% a týkal se pouze fotoredukce s DPC.

Analogické zjištění lze nalézt i v práci Karavaeva a kol. /41/, kteří sledovali změny ve fotosyntetickém aparátu u listů fazolu *Vicia faba*. Rostliny rostly v přítomnosti 10^{-7} - 10^{-3} M vodného roztoku $CdCl_2$. Autoři zjistili, že změny ve fotosyntetickém aparátu rostlin v přítomnosti iontů toxického kovu nejsou specifické a jednoznačné. Nízké koncentrace (10^{-7} - 10^{-6} M) stimuluji fotosyntetickou aktivitu, zatímco vysoké koncentrace iontů v růstovém médiu (10^{-4} - 10^{-3} M) tuto aktivitu potlačují.

Stanovením fotochemických aktivit fotosystému II pomocí fotoredukce $H_2O \rightarrow DCPIP$ a $DPC \rightarrow DCPIP$ thylakoidních membrán sinic inkubovaných s kademnatými ionty v rozmezí koncentrace $CdCl_2$ 0-200 mM, stimulační efekt vykazovaly pouze nižší koncentrace $CdCl_2$ (t. j. hodnoty v sadě měření 0-10 mM u fotoredukce $DPC \rightarrow DCPIP$), vyšší koncentrace již vykazovaly silně inhibiční efekt na fotochemické aktivity. Mohu tedy své výsledky ztotožnit se závěrem Karavaeva a kol. /41/ a potvrdit názor, že kademnaté ionty způsobují inhibici

fotochemické aktivity fotosystému II zejména ve svých vyšších koncentracích. Rozdíl je ale v tom, že zatímco Karavaev a kol. /41/ aplikoval svoje stanovení na celé rostliny a pozoroval inhibiční efekt kademnatých iontů mohl být způsoben v biosyntetických změnách, naše výsledky jsou získány přímým působením iontů kadmia na thylakoidní membrány sinic.

Z našich výsledků lze dále usuzovat, že cílem působení kademnatých iontů je pravděpodobně oxidační (donorová) strana fotosystému II, (část elektronového transportního řetězce mezi vodou a reakčním centrem fotosystému II) Fotochemické aktivity mají v přítomnosti umělého donoru elektronů 1,5-difenylkarbazidu trend méně klesat. (koncentrace kademnatých iontů 0-10 mM).

Dále jsem se zabývala pozorováním časové závislosti fotochemických aktivit inkubovaných thylakoidních membrán sinic s koncentrací kademnatých iontů 6 mM oproti membránám bez kademnatých iontů po dobu 50 minut. Pozorovala jsem zda má tato krátká doba vliv na fotochemické aktivity. Aktivity jsem měřila dříve popsaným způsobem s oběma typy fotoredukce s tím rozdílem, že jsem proměřovala vždy pouze jeden vzorek a to ihned po rozmražení a pak v intervalech po deseti minutách po dobu 50 minut. Pak jsem totéž zopakovala i s druhým vzorkem. Ze získaných hodnot byl jednak vidět nárůst aktivit v přítomnosti umělého donoru elektronů, což potvrzuje naši domněnku, že cílem působení kademnatých iontů je pravděpodobně oxidační (donorová) strana fotosystému II. Hodnoty aktivit vzorku s koncentrací kademnatých iontů 6 mM se však v časové závislosti významně neměnily. Nepoukázaly na žádný trend inhibice nebo stimulace s časem. Lze tedy říci, že s časem nedochází k významné změně v aktivitách studovaných vzorků, ani k odchylkám mezi vzorkami s ionty Cd^{2+} a bez nich.

Při vyhodnocení zmíněných výsledků je ale nutno brát v úvahu fakt, že ionty kadmia mohou mít vliv na množství chlorofylu a.

Pokud jsou thylakoidní membrány vystaveny různým koncentracím kademnatých iontů, mohou tyto ionty způsobit změny v koncentraci chlorofylu **a**. Po vynesení koncentrace chlorofylu **a** u všech vzorků proti koncentraci kademnatých iontů se tento fakt potvrdil a koncentrace chlorofylu **a** s rostoucí koncentrací iontů kadmia klesala. Výrazně nízkou koncentraci chlorofylu **a** vykazoval vzorek Cd₈₀₀ (koncentrace kadmia je zde 800 mM). Pagliano a kol. /42/ dospěli k závěru, že kademnaté ionty neovlivňují množství proteinů PS II a že nízké koncentrace kademnatých iontů vykazují stimulační efekt na fotochemické aktivity thylakoidních membrán rýže v přítomnosti DPC. Usuzujeme tedy, že klesá pouze množství chlorofylu a nikoliv proteinů, na něž je vázán, a že tedy lze pomocí funkce proložené grafem 3.1. vyjádřit množství vzorku tak, aby nebylo vztaženo na chlorofyl, ale na množství thylakoidních membrán. Proto jsou námi získané aktivity přepočteny na úbytek chlorofylu **a** s rostoucí koncentrací kademnatých iontů (viz graf 3.1.).

Vizuálně vzorky s různou koncentrací kademnatých iontů nejevily barevné změny. Nepatrн světlejší byly vzorky s koncentrací kadmia 800 mM (posun ke žluté barvě). Úbytek chlorofylu je tedy způsoben zřejmě posunem absorpčního maxima, k čemuž pravděpodobně dochází záměnou centrálního atomu chlorofylu za kadmium. Tato záměna může mít za následek posun absorpčního maxima o několik desítek nm /43/. Při malé šířce vrcholu v absorpčním spektru chlorofylu pak takto změněné molekuly při spektrofotometrickém stanovení nemusíme zaznamenat. Proto by bylo vhodné v budoucnosti sledovat závislost změn v absorpčním spektru chlorofylu na různých koncentracích kademnatých iontů a tuto hypotézu potvrdit či vyvrátit.

Iontový poloměr kadmia je sice zhruba o polovinu větší než iontový poloměr hořčíku, pyrolová jádra kolem centrálního atomu by se však při takovéto substituci mohla vychýlit směrem nad rovinu porfyrinového skeletu a tak tuto záměnu umožnit /43/. Takto deformovaný porfyrin může být důvodem barevné změny chlorofylu.

Protože fotochemické aktivity fotosystému klesají poněkud pomaleji než koncentrace chlorofylu, kademnaté ionty působí zřejmě více na chlorofyl vnitřní antény, než reakčního centra (graf 3.2.).

Pigmentoproteinové komplexy jsem separovala pomocí centrifugace v sacharosovém hustotním gradientu. Podařilo se mi oddělit PS I a PS II. Obě zóny obsahovaly pouze fotosystém I. Fotosystém II klesl do sedimentu. Příčinou mohlo být použití úhlového rotoru. Proto jsem, při elektroforetickém stanovení pigmentoproteinových komplexů, tento fakt brala v úvahu a jako vzorky jsem používala kromě thylakoidních membrán sinic sediment po centrifugaci v hustotním gradientu sacharosy a snažila se najít právě v něm fotosystém II. Reelektroforéza v prostředí SDS /44/ po separaci pigmentoproteinových komplexů thylakoidních membrán sinic pomocí „červené“ nativní elektroforézy (viz kap. 3.2.1.) ukázala, že v pigmentoproteinu o relativní molekulové hmotnosti 300 kDa je zřejmě fotosystém II. Jeho reelektroforéza poskytuje typický profil, svědčící o jeho přítomnosti. Z profilu reelektroforézy pigmentoproteinů o relativních molekulových hmotnostech asi 900 kDa a 1200 kDa (kap. 3.2.3.) usuzujeme na přítomnost fotosystému I v různých oligomérních formách /44/.

Také jsem pozorovala změny pigmentoproteinového složení thylakoidních membrán sinic při různých koncentracích kademnatých iontů (kap. 3.2.3.) Při koncentracích 80 a 800 mM zcela vymizely pigmentoproteiny s relativní molekulovou hmotností kolem 900 a 1200 kDa odpovídající zřejmě PS I, u vzorku s koncentrací kadmia 80 mM zasláblý pásy pigmentoproteinů o molekulové hmotnosti 398 kDa, 460 kDa a 561 kDa. Vzorek 800 mM měl zasláblé pásy pigmentoproteinů o molekulových hmotnostech 460 a 561 kDa.

Při porovnání thylakoidních membrán sinic a špenátu se jednotlivé elektroforetické pásy na „červené“ nativní elektroforézy příliš neměnily (kap. 3.2.2.).

Pro podrobnější závěry by bylo vhodné pokračovat v identifikaci pigmentoproteinových komplexů thylakoidních membrán sinic pomocí „červené“ nativní elektroforézy s následnou aplikací reelektroforézy v prostředí SDS.

5 Závěr

1. Přímé působení kademnatých iontů na thylakoidní membrány sinic snižuje množství chlorofylu **a**.
2. Ve fotosystému II kademnaté ionty pravděpodobně působí více na chlorofyl vnitřní antény než na chlorofyl reakčního centra.
3. Byl pozorován mírně stimulační efekt kademnatých iontů na aktivitu fotosystému II v přítomnosti umělého donoru elektronů 1,5-difenylkarbazidu v koncentracích CdCl₂ do 10 mM.
4. Inhibiční vliv iontů kadmia na fotosystém II postihuje zřejmě jeho donorovou stranu.
5. Při rostoucí koncentraci kademnatých iontů se v thylakoidních membránách nevyskytovaly pigmentoproteinové komplexy s relativní molekulovou hmotností 900 a 1200 kDa odpovídající pravděpodobně fotosystému I.

Seznam literatury

- 1) Voet, D., Voetová, J. G.: Fotosyntéza, v knize Biochemie, Victoria Publishing, Praha (1995)
- 2) Kutík, J., Beneš, K.: Biologické listy 56, 292-318 (1991)
- 3) Jansson, S.: Biochem. Biophys. Acta 1184, 1-19 /1984)
- 4) Sprague, S. G. J.: Bioenerg. Biomembrane 19, 691-703 /1987)
- 5) Leblová, S., Sofrová, D.: Biochemie fotosyntézy, skriptum PřF UK Praha, str. 12-21 (1982)
- 6) Šípal, Z., Azenbacher, P., Peč, P., Pospíšil, J., Růžička, I.: Biochemie. Státní pedagogické nakladatelství, Praha (1992)
- 7) Kolektiv: Biochemie, skriptum PřF UK Praha, str. 183-200 (2003)
- 8) Kalina, T.: Systém a vývoj sinic a řas, skriptum PřF UK Praha, str. 33 (1994)
- 9) Hansson, Ö., Wydrzynski, T.: Photosynth. Res. 23, 131-162 (1990)
- 10) Babcovo, G. T., Barry, B. A., Debus, R. J., Hoganson, C. W., Ataman, M., Macintosh, L., Sitkole, I., Yocum, C. F.: Biochemistry 28, 9559-9565 (1989)
- 11) Ghanotakis, D. F., Yocum, C. F.: Photosynth. Res. 7, 97-114 (1985)
- 12) Bryant, D. A.: Can. Bull. Fish. Aquat. Sci. 214, 423-500 (1986)
- 13) Juany, D., Every, R. M., Cheng, R. H., Heymann, J. B., Schäger, H., Sled, V., Ohnishi, T., Baker, T. S., Frajter, W.A.: Biochemistry 33, 4401-4409 (1994)
- 14) Faller, P., Maly, T., Rutherford, W., Mcmillan, F.: Biochemistry 40, 320-326 (2001)
- 15) Berthold, D.A., Schmidt, C.L., Malkin, R.: J. Biol. Chem. 270, 29293-29298 (1995). Citováno ze (16)

- 16) Ke, B.: Phycobiliproteins and phycobilisomes, v knize Photosynthesis. Photobiochemistry and Photobiophysics (Ke, B.) Kluwer Academic Publisher, Dordrecht, Boston, London, str. 251-269 (2001)
- 17) Chitnis, P. R., Xu, Q., Chitnis, V. P., Nechushtai, R.: Photosynth. Res. 44, 23-40 (1995)
- 18) Lawler, D. W.: Photosynthesis : Molecular, Physiological and Environment Processes, Longman Scientific & Technical, Harlow, England, str. 115-117 (1993)
- 19) Pánke, O., Rumberg, B.: Kinetic analysis of the proton translocating ATP synthase from spinach, v knize Photosynthesis : from Light to Biosphere (Mythus, P., ed.), Volume III, Kluwer Academic Publisher, Dordrecht, Boston, London, str. 143-146 (1995)
- 20) Rumberg, B., Berry, S.: Find measurement of the H⁺/ATP coupling ratio at the ATP synthase of chloroplasts, v knize Photosynthesis : from Light to Biosphere (Mythus, P., ed.), Volume III, Kluwer Academic Publisher, Dordrecht, Boston, London, str. 139-142 (1995)
- 21) Kolektiv: Systém a vývoj sinic a řas, skriptum PřF MU, Brno, str. 115-127 (1998)
- 22) Dědic, R.: Influence of UV-B radiation on photosynthetic protective mechanism, Thesis, Faculty of Mathematics and Physics, Praha, str. 6-12 (1998)
- 23) Hladík, J., Sofrová, D.: Photosynthetica 17, 267-288 /1983)
- 24) Öquist, G., Cambell, D., Clarke, A. K. a Gustafsson, P.: Photosynth. Res., 151-158 (1995)
- 25) Masarovičová, E.: Handbook of Plant and Crop Stress (Pessarakli, M. Ed.), Dekker, M., New York and Basel str. 569 (1999)
- 26) Ma, J.F., Veno, D., Lheo, F. J., McGrath, S. P.: Planta, str. 220 a 731 (2005)

- 27) Ensley, B. D.: Current Topics in Plant Biochemistry, Physiology and Molecular Biology (Randálů, D., Raskin, I., Baker, A., Blevins, D., Smith, R. Eds,) University of Missouri, Columbia (Missouri, USA), str. 569 (1995)
- 28) Prasad, M.N., Strzalka, K.: Heavy Metal Stress in Plants (Prasat, M.N.V., Hagenmeyer, J. Eds), Springer Verlag, Berlin-Heidelberg, str. 117 (1999)
- 29) Malik, D., Sheoran, I.S., Singh, R.: Plant Physiol. Biochem. 30, 222-223 (1992)
- 30) Stiborová, M.: Biochem. Physiol. Pflanzen, str. 183-371 (1998")
- 31) Nováková, M.: Diplomová práce, PřF UK, Praha (2003)
- 32) Tůmová, E., Sofrová, D.: Photosynthetica, str. 40-103 (2002)
- 33) Dercová, K., Makovníková, J., Barančíková, G., Buffa, J.: Chemické listy 99, 682-693 (2005)
- 34) Kratz, W.A., Mezera, J.: Am. J. Bot. 42, 282-287 (1955)
- 35) Schatz, G.H., Witt, H.T.: Photobiochem. Photobiophys. 7, 1-14 (1984)
- 36) Dobrá, J.: osobní sdělení
- 37) Liberda, J.: osobní sdělení
- 38) Ogawa, T., Vernon,L.P.: Photobiochem. Photobiophys. Acta 226, 88-97 (1971)
- 39) Šetlíková, E., Sofrová, D., Prášil, O., Budáč, P., Koblížek, M., Setlím, I.: Photosynthetica 27, 183-200 (1999)
- 40) Tůmová, E.: Diplomová práce, PřF UK, Praha (2001)
- 41) Karavaev, V.A., Baulin, A.M., Gordienko, T.V., Donydkov, S.A., Tikhonov, A.N.: Russian J. Plant Physiol. 48, 38-44 (2001)
- 42) Pagliano, C., Raviolo, M., Vechia Dalla, F., Gabbielli, R., Gonelli, C., Rascio, N., Barbato, R.: J. Photochem.Fotobiol. B. 84, str.70-78 (2006)
- 43) Kotek, J.: osobní sdělení

- 44) Pavlátová, L.: osobní sdělení
- 45) Krupa, Z., Siedlecka, A.: Cd/Fe interaction and its effects on photosynthetic capacity of primary bean leaves, v knize Photosynthesis:from Light to Biosphere (Mythus, P., ed.), Volume IV, Kluwer Academic Publisher, Dordrecht, Boston, London, str. 621-624 (1995)
- 46) Láng, F., Sárvári, E., Szigeti, Z., Forot, F., Vsej, E.: Effects of heavy metals on the photosynthetic apparatus in cucumber, v knize Photosynthesis: from Light to biosphere (Mythus, P., ed), Volume IV, Kluwer Academic Publisher, Dordrecht, Boston, London, str. 533-536 (1996)
- 47) Moreno.Caselles, J., Moral, R., Perez-Murcia, M.D.: J. Plant Nutrition 23, 243-250 (2000)
- 48) Carr, H.P., Darino, F.A., Yang, M.S., Wong, M.H.: Bull Environ. Cintám. Toxicko. 60, 433-440 (1998)
- 49) Fargašová, A.: Biologia 54, 661-666 (1999)
- 50) Smýkalová, I.: Modelové populace řas rodu Chlorella v přítomnosti $AS^{5+}, Cd^{2+}, Cu^{2+}, Zn^{2+}$ iontů. Kandidátská disertační práce. Argonom. Fak. ČZU Praha, katedra chemie (1999)
- 51) Takatera, K., Watanabe, T.: Anal. Sci. 8, 469-473 (1992)
- 52) Nekasová, O.D., Orleanskii, V. K., Nikandrov, V.V.: Russian J, Plant Physiol. 47, 234-241 (2000)
- 53) Nováková, M., Matějková, E., Sofrová, D.: Photosynthetica 42, 425-430 (2004)

Svoluji k vypůjčení této práce pro studijní účely a prosím, aby byla řádně vedena evidence vypůjčovatelů.

Jméno a příjmení s adresou	Číslo OP	Datum vypůjčení	Poznámka